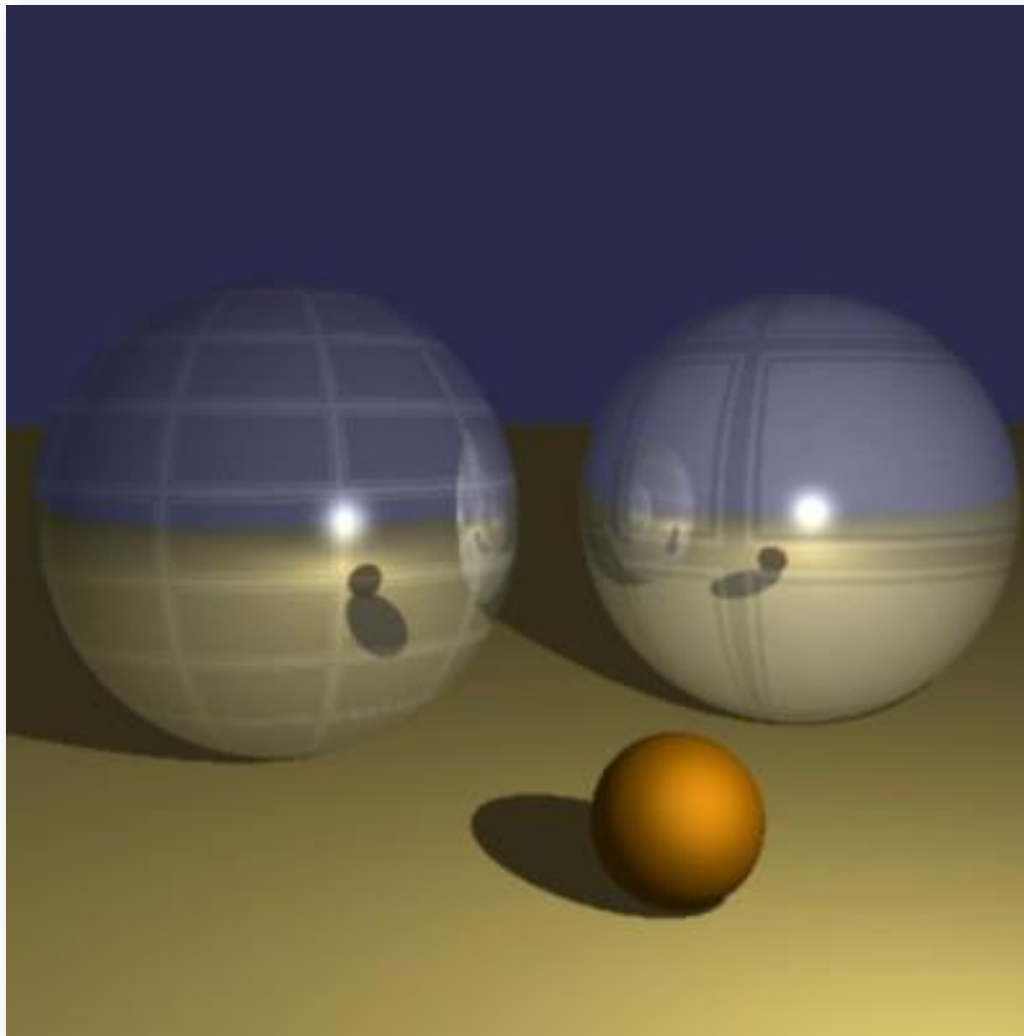


# Projet : Lancer de rayons



# Projet

## Requis

- Path-tracing basique
- Ombrage basique
- Lumière étendues/Ombres douces
- Réflexions
- Maillages
- Réfraction ~10/20
- Kd-tree pour l'intersection rayon triangle

## Au choix, effets supplémentaires :

- Profondeur de champs
- Textures
- Cartes de normales
- Photon mapping etc...

# Rendus

## **2 rendus intermédiaires**

- mi novembre
- début décembre

**Rendu final en janvier**

# Génération des rayons primaires

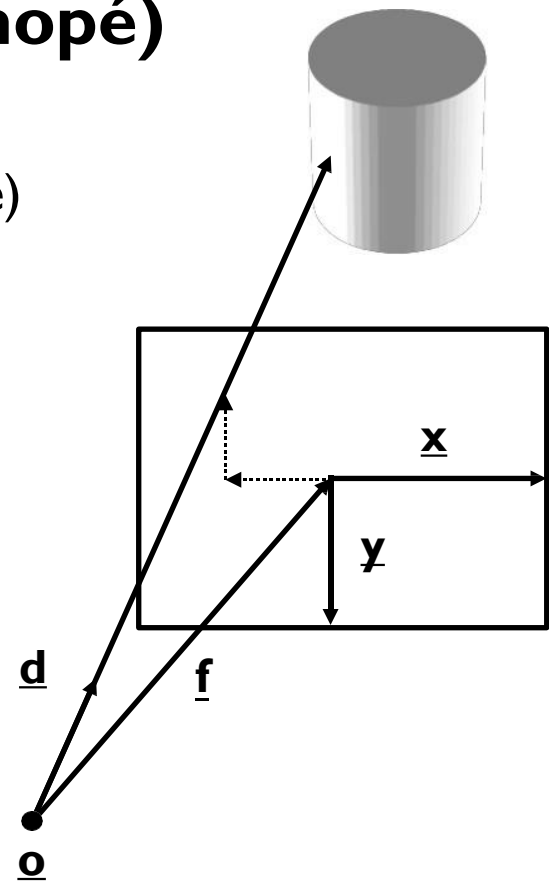
Un rayon :  $\underline{r}(t) = \underline{o} + t \underline{d}$

- origine  $\underline{o}=(o_x, o_y, o_z)$ , direction  $\underline{d}=(d_x, d_y, d_z)$  avec  $||\underline{d}||=1$

Hypothèse : “Pinhole camera” (sténopé)

- $\underline{o}$  : origine (point de vue)
- $\underline{f}$  : axe optique (vecteur vers le centre de l'image)
- $x, y$  : axes sur l'image
- width,height : résolution de l'image

```
for(i=0; i<width; i++)
    for(j=0; j<height; j++)
    {
         $\underline{d} = \underline{f} + 2(i/width - 0.5)\underline{x}$ 
            + 2(j/height - 0.5) $\underline{y}$ ;
         $\underline{d} = \underline{d}/|\underline{d}|$ ; // normalisation
        color = ray_tracing( $\underline{o}$ ,  $\underline{d}$ );
        write_pixel(i, j, color);
    }
```



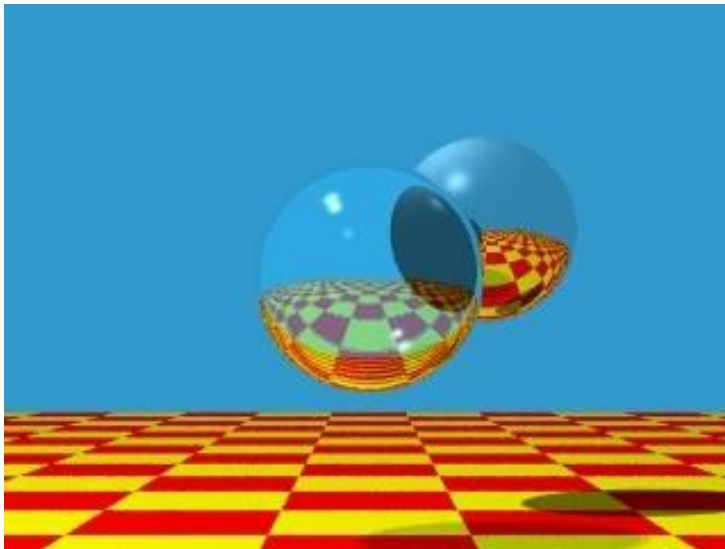
# Extension du modèle

[Turner Whitted 1980]

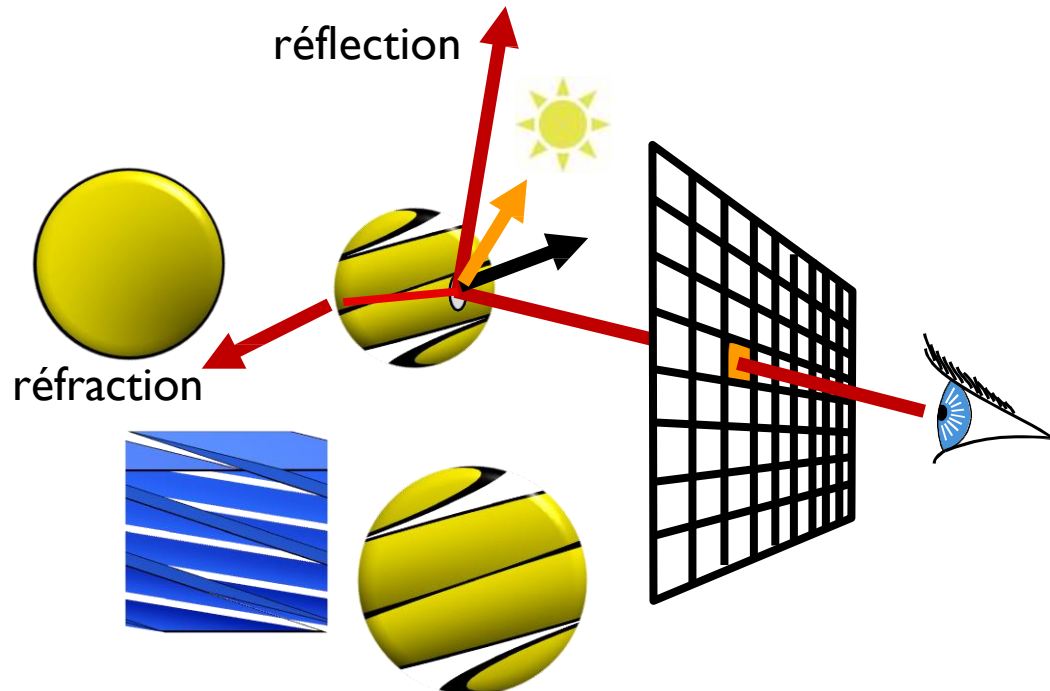
Trois nouveaux rayons sont générés :

- un rayon **réfracté\***,
- un rayon **réfléchi\***,
- un rayon **d'ombre**

⇒ lancer de rayon **récursif**

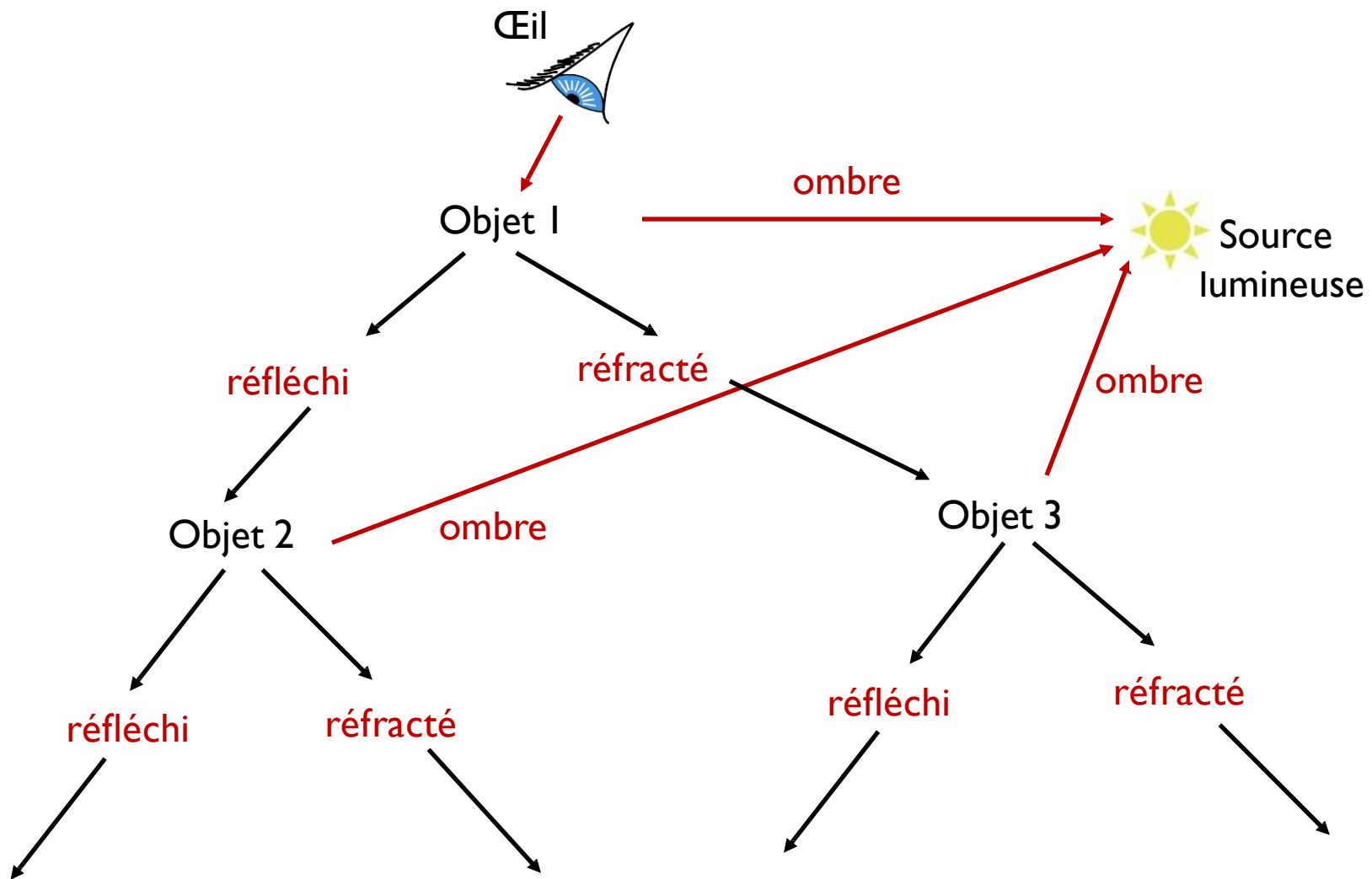


En 1980, 74 min de calcul.

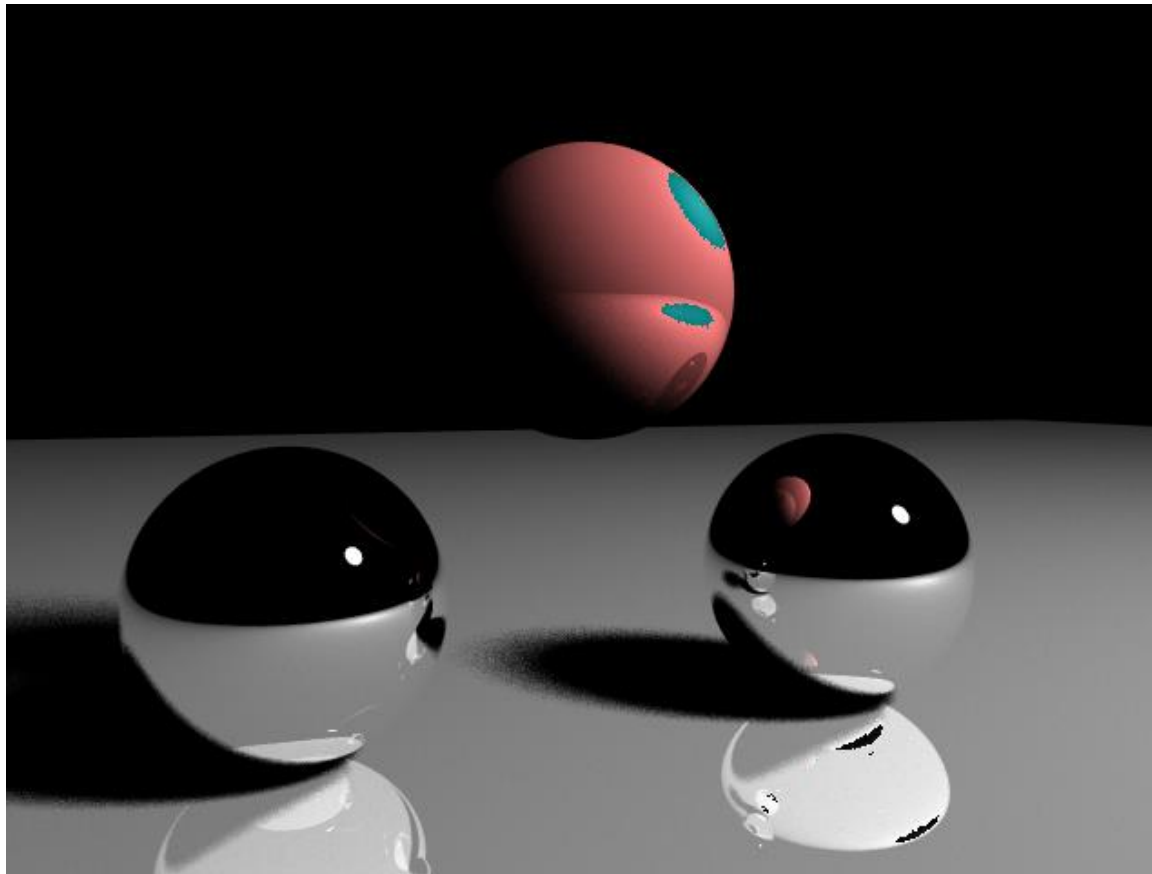


(\*) formules réflexion et réfraction

# L'arbre des rayons

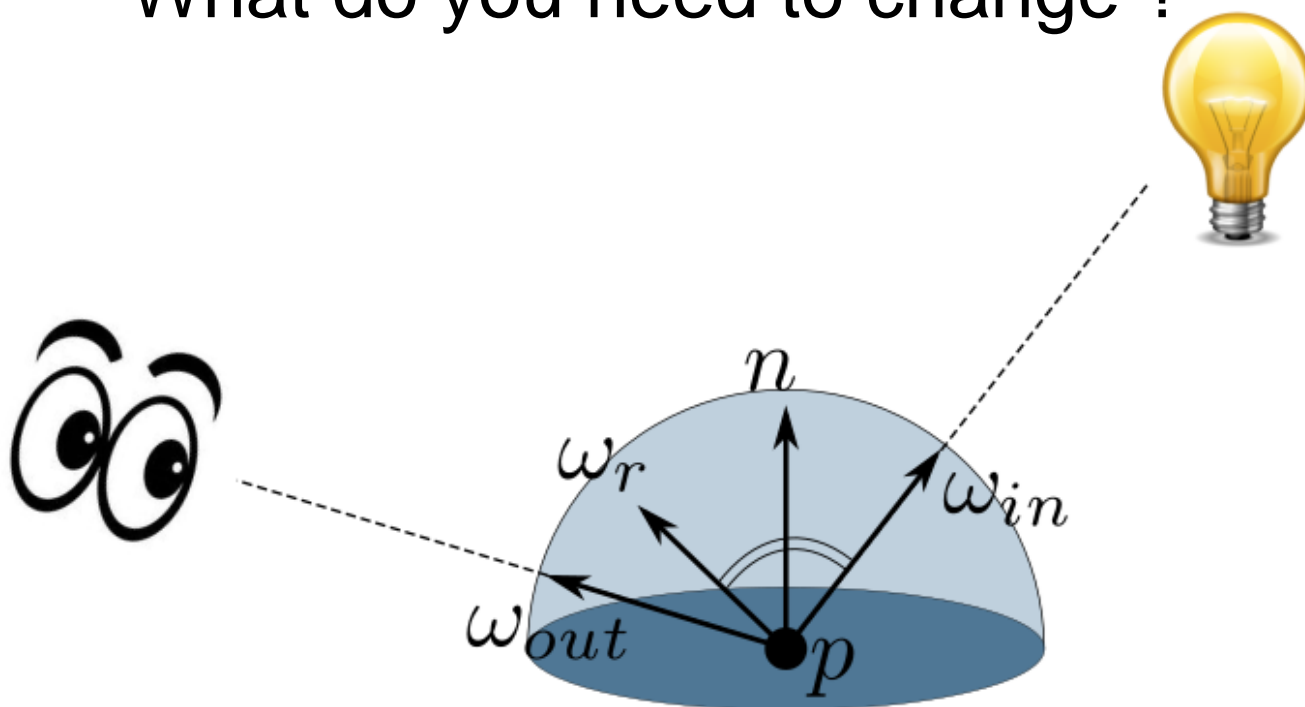


# Reflections



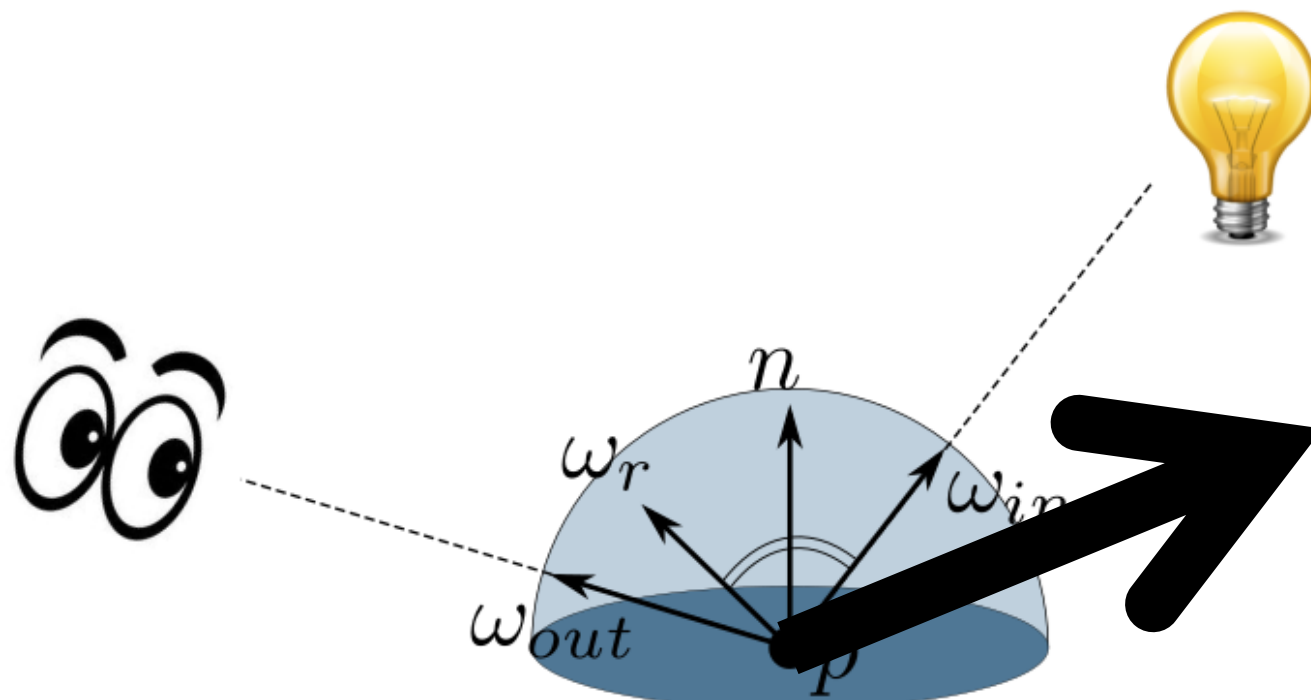
# Reflections

What do you need to change ?



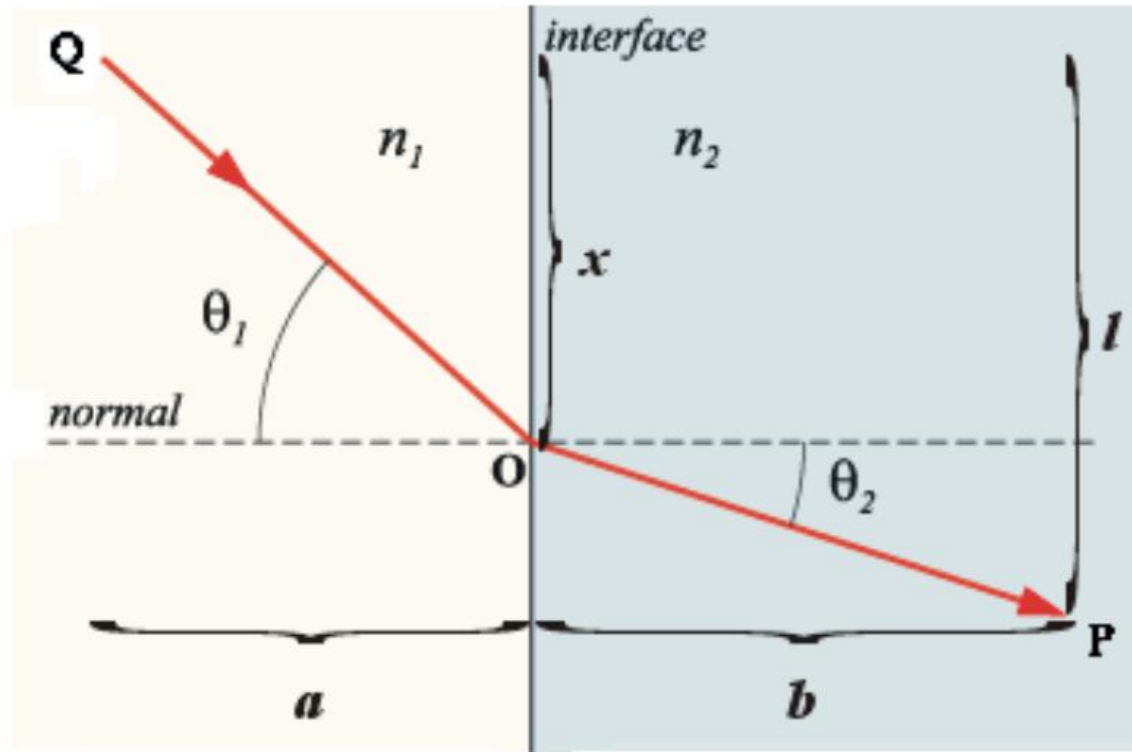
$$L(p, \omega_{out}) = L_e(p, \omega_{out}) + \int_{\omega_{in} \in \mathcal{H}(p, n)} L(p, \omega_{in}) * brdf(p, \omega_{in}, \omega_{out}). \underbrace{(n \cdot \omega_{in})}_{\text{produit scalaire}} . d\omega_{in}$$

# Reflections



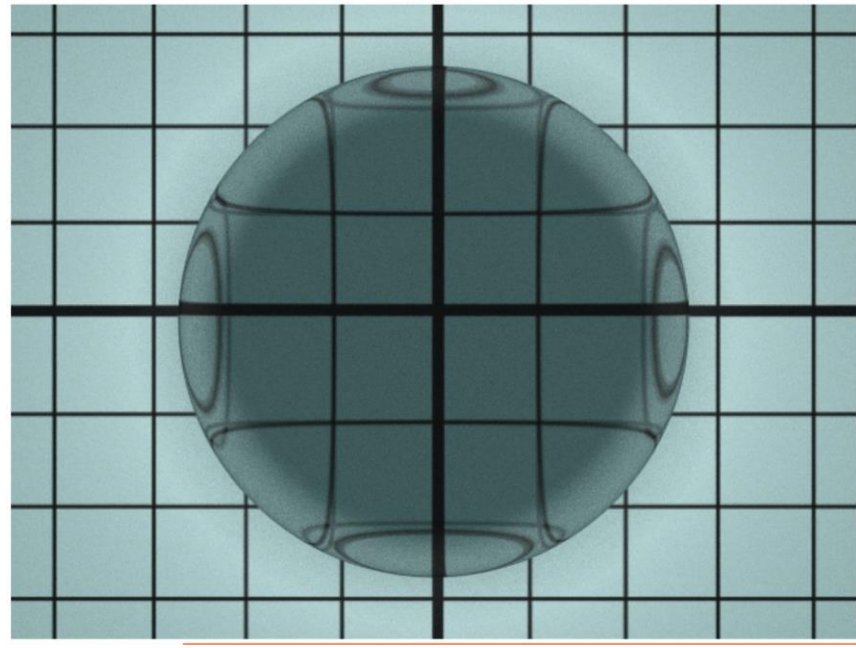
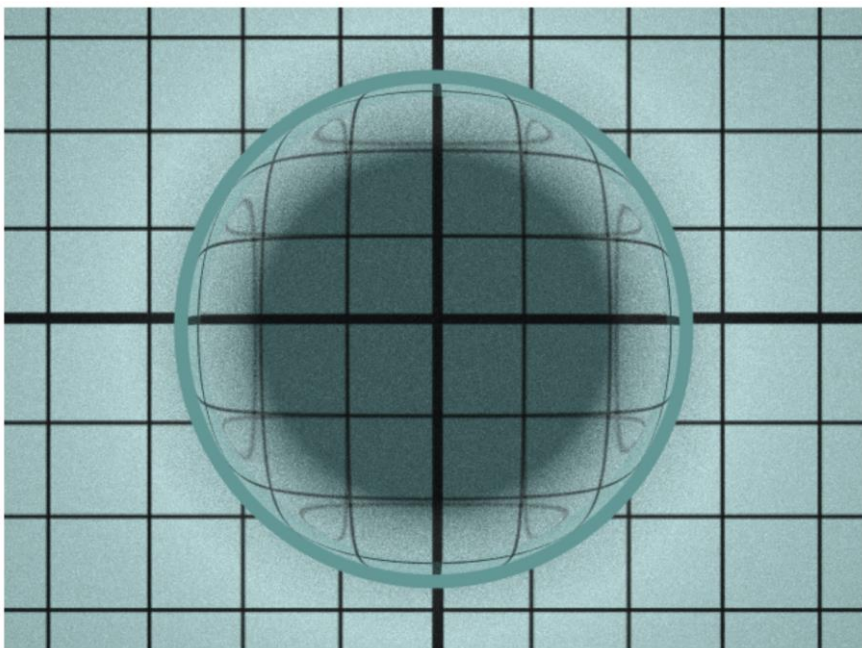
$$L(p, \omega_{out}) = L_e(p, \omega_{out}) + \int_{\omega_{in} \in \mathcal{H}(p, n)} \langle (p, \omega_{in}) * brd(p, \omega_{in}, \omega_{out}), \underbrace{(n \cdot \omega_{in})}_{\text{produit scalaire}} \rangle . d\omega_{in}$$

# Refractions



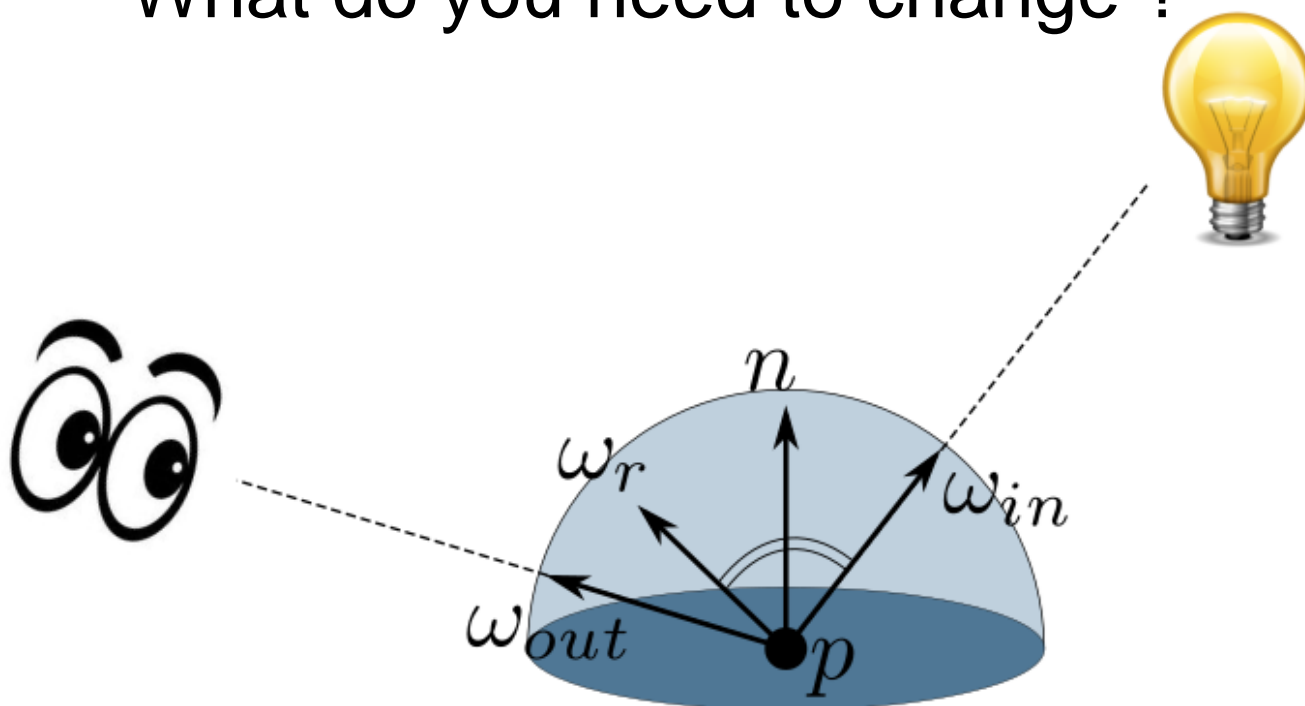
Law of sines

# Refractions



# Refractions

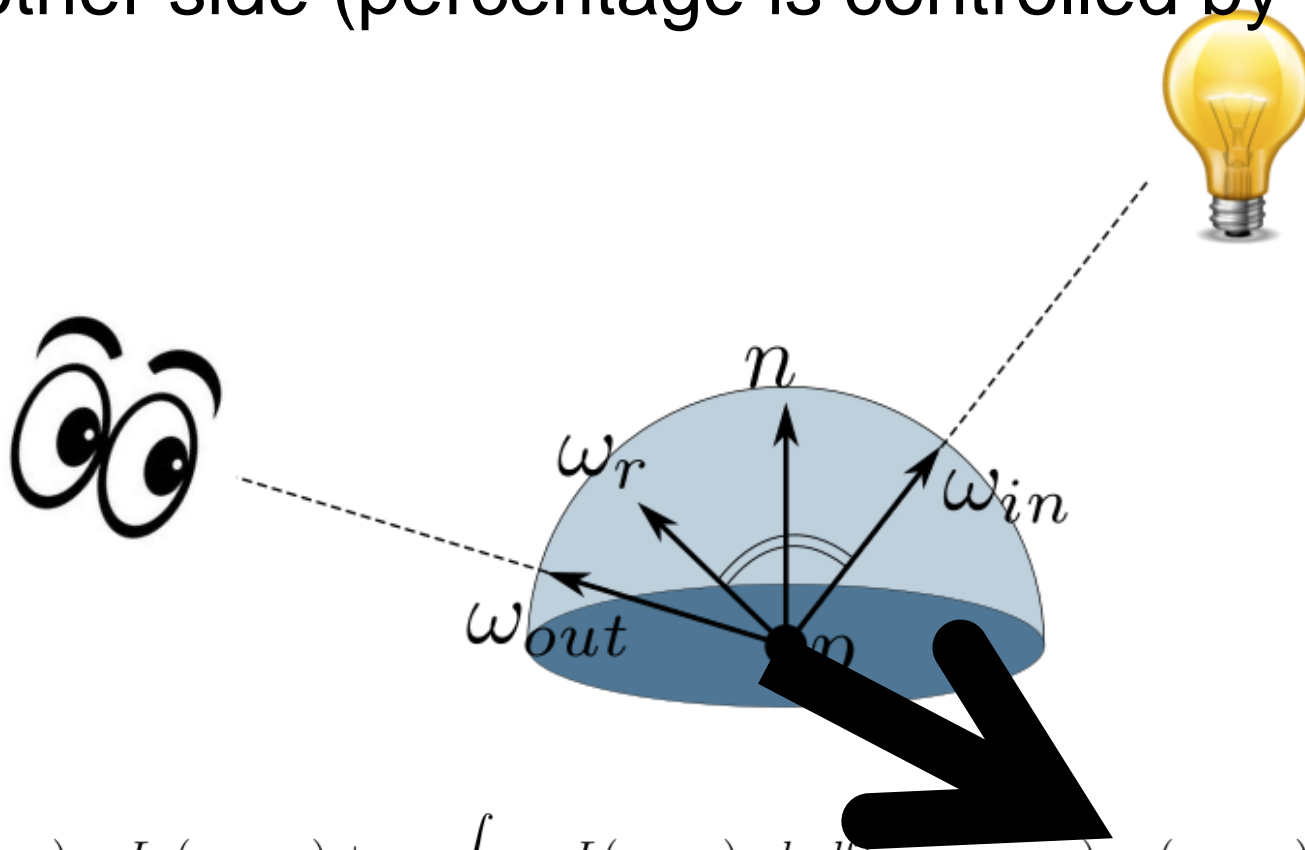
What do you need to change ?



$$L(p, \omega_{out}) = L_e(p, \omega_{out}) + \int_{\omega_{in} \in \mathcal{H}(p, n)} L(p, \omega_{in}) * brdf(p, \omega_{in}, \omega_{out}). \underbrace{(n \cdot \omega_{in})}_{\text{produit scalaire}} . d\omega_{in}$$

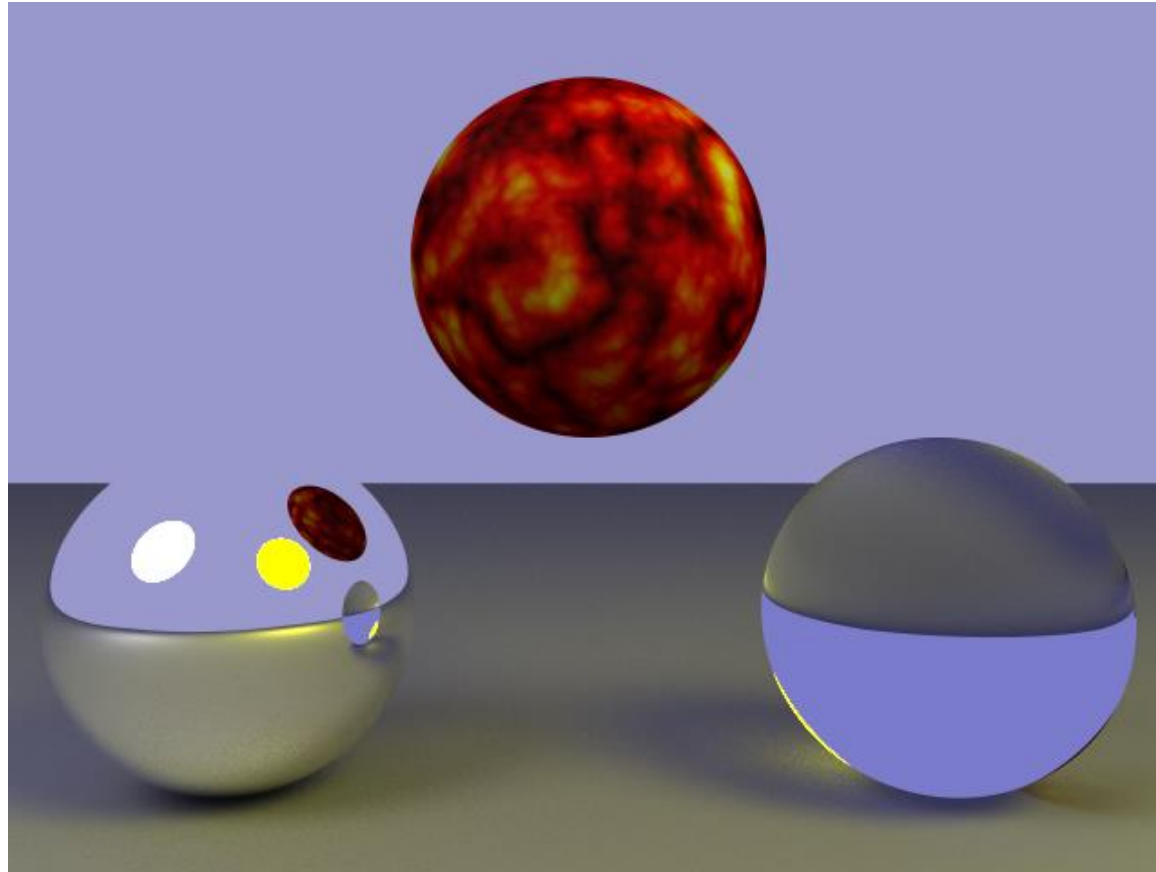
# Refractions

on the other side (percentage is controlled by the transp



$$L(p, \omega_{out}) = L_e(p, \omega_{out}) + \int_{\omega_{in} \in \mathcal{H}(p, n)} L(p, \omega_{in}) * brdf(p, \omega_{in}, \omega_{out}). \underbrace{(n \cdot \omega_{in})}_{\text{produit scalaire}} . d\omega_{in}$$

# Refractions



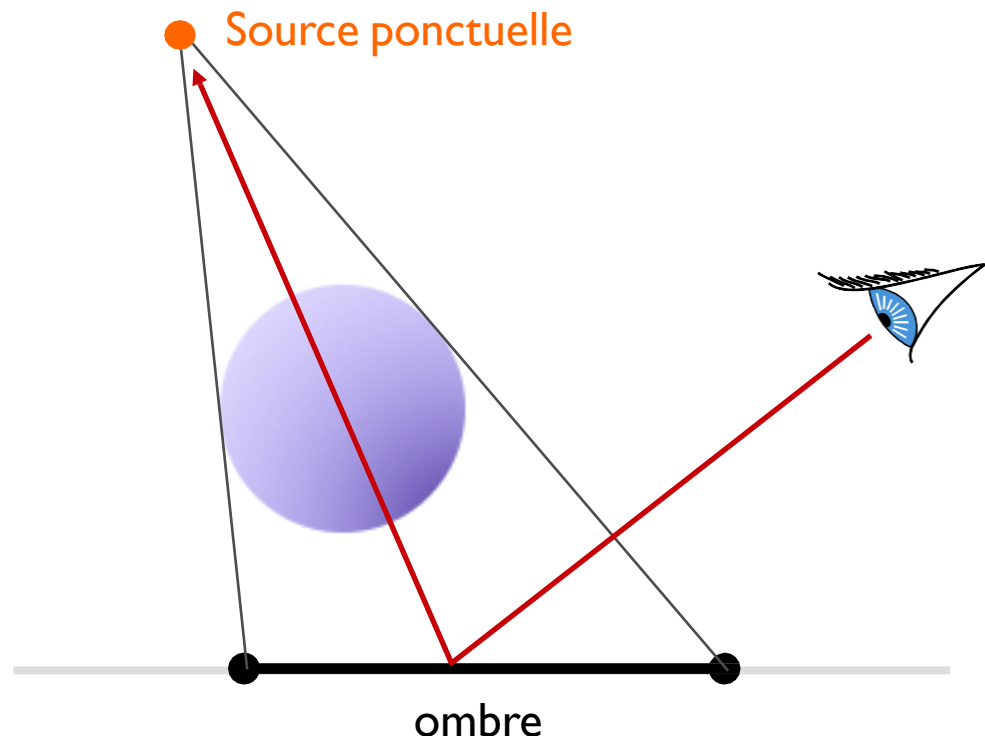
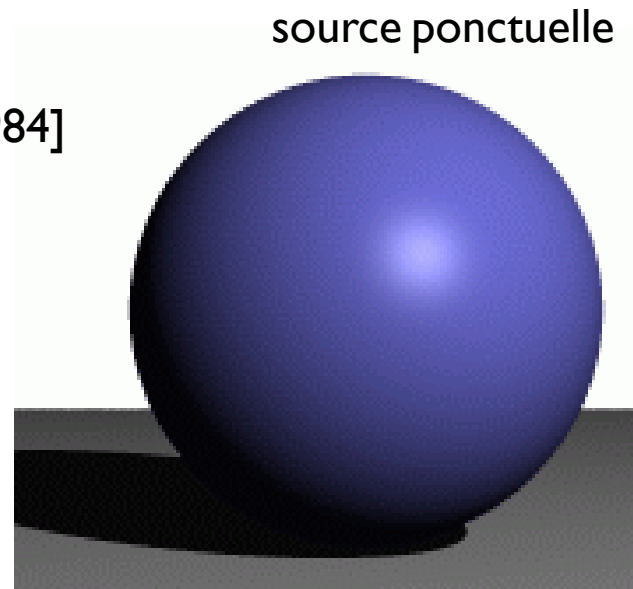
Create caustics

# Encore plus de rayons

[Cook et al. 1984]

## Ombres douces

plusieurs rayons par source  
de lumière étendue

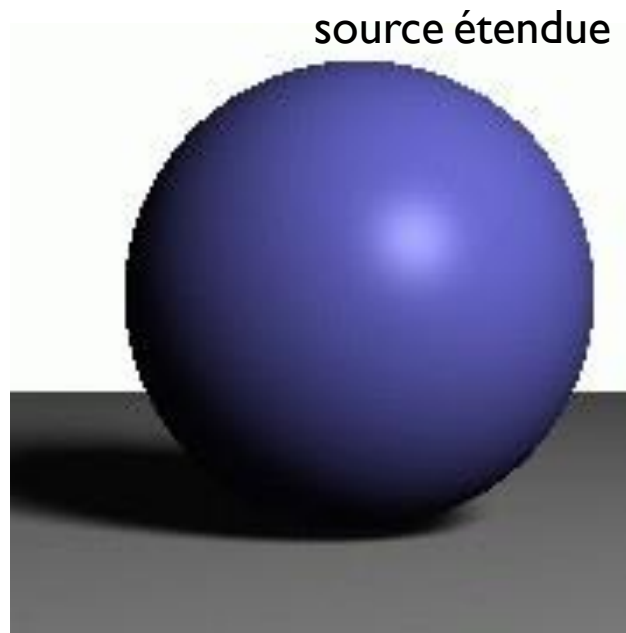
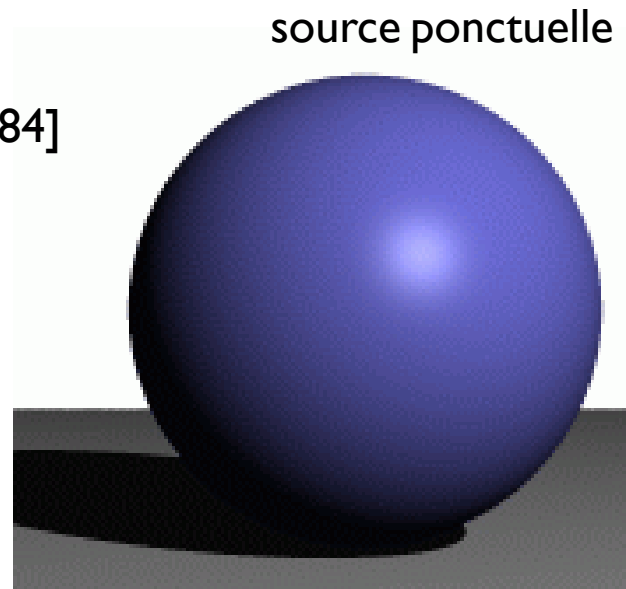
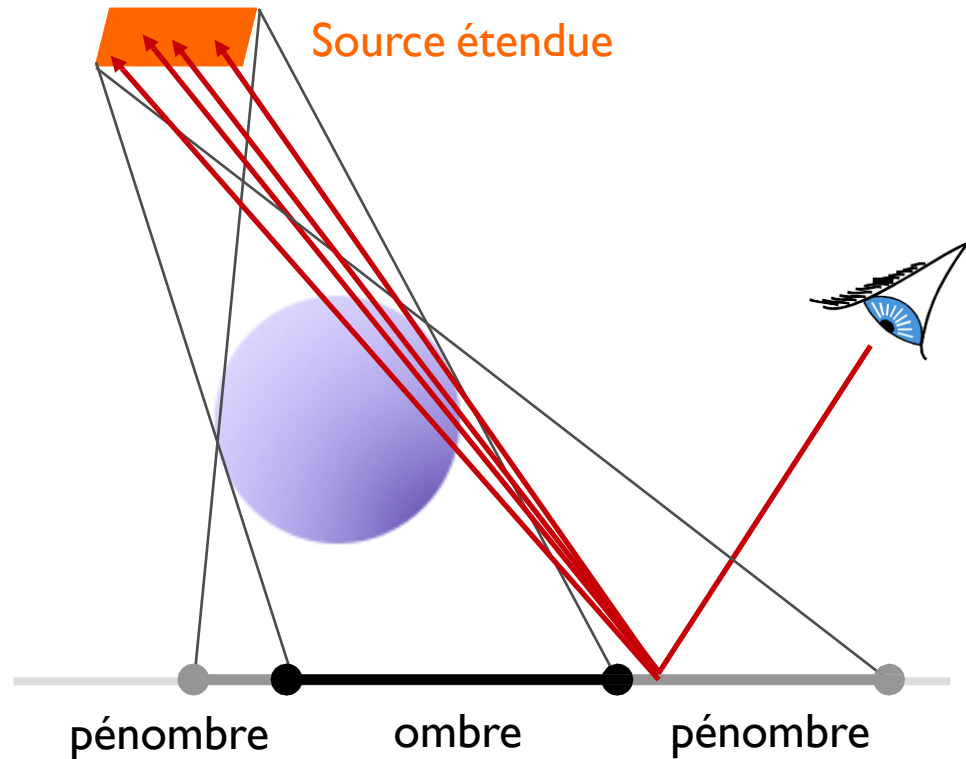


# Encore plus de rayons

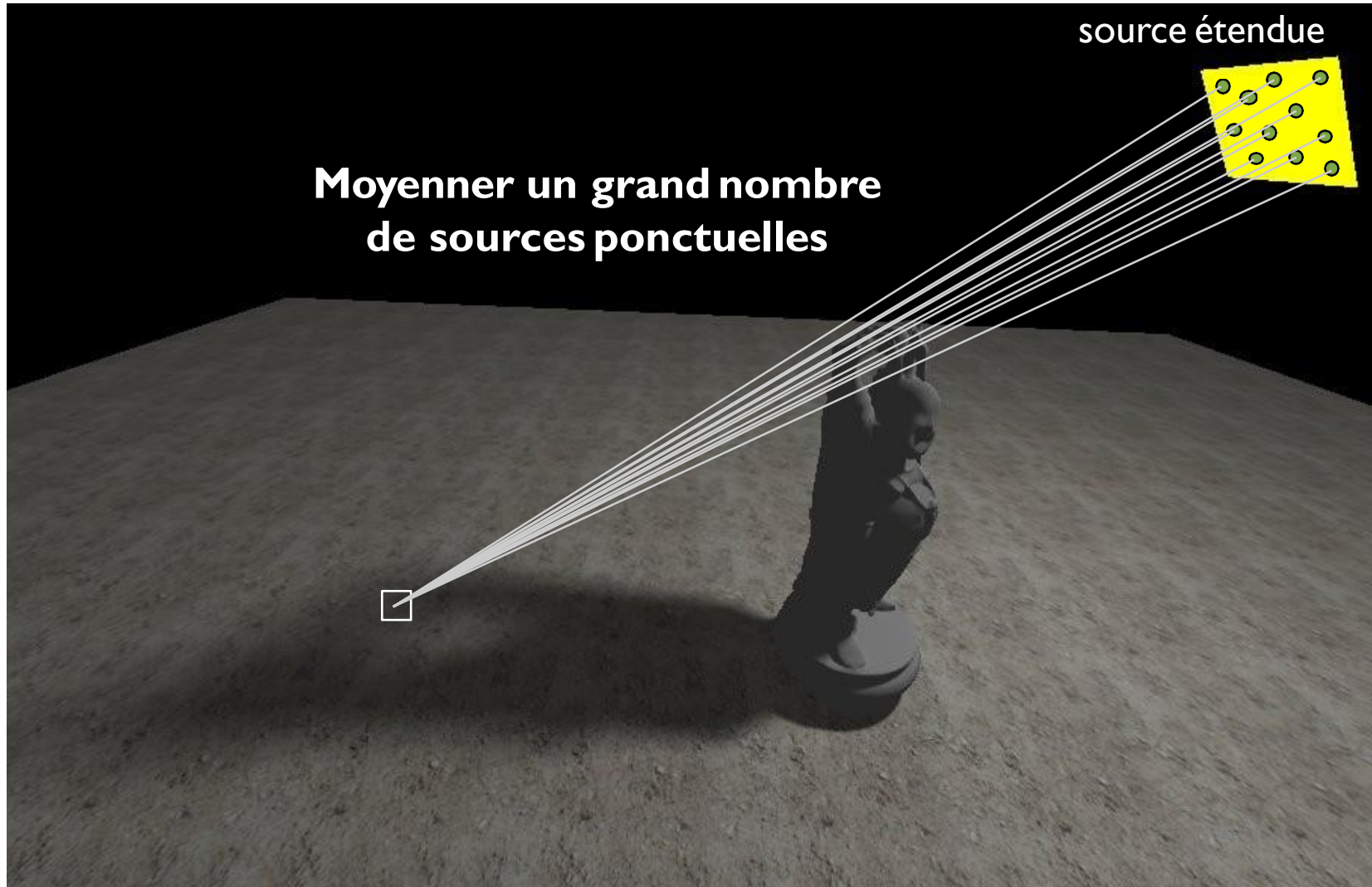
[Cook et al. 1984]

## Ombres douces

plusieurs rayons par source  
de lumière étendue



# Ombres douces



# Encore plus de rayons

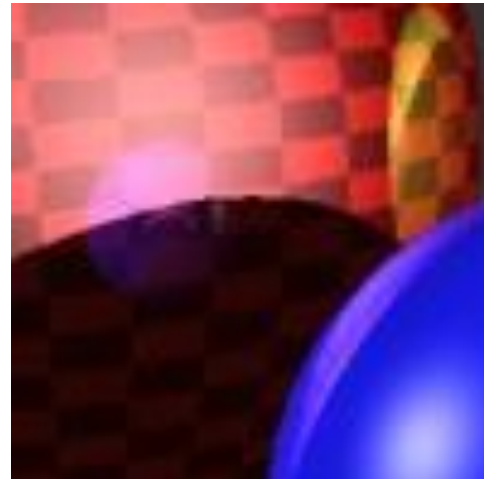
[Cook et al. 1984]

## Anti-aliasing

- 1 pixel  $\neq$  1 point  $\Rightarrow$  1 pixel = petit élément de surface
- idéalement : intégrer sur toute la surface du pixel
- en pratique : plusieurs rayons par pixel et moyenner



1 rayon



2 rayons



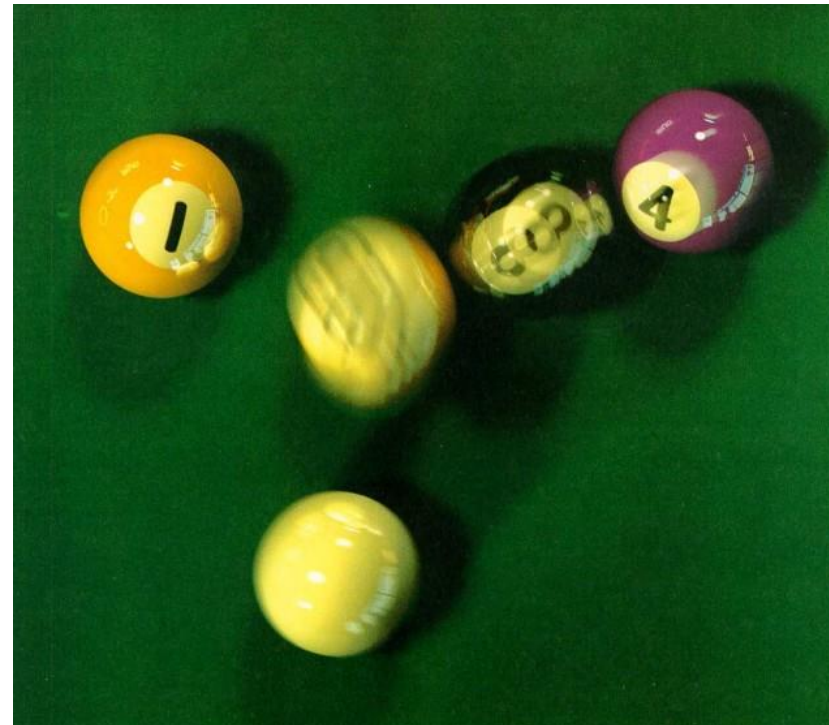
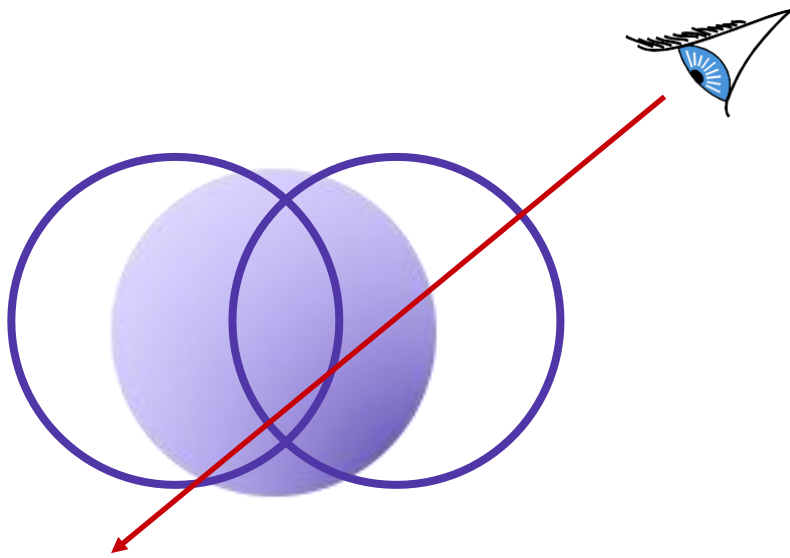
3 rayons

# Encore plus de rayons

[Cook et al. 1984]

## Flou cinétique

plusieurs rayon au cours du temps

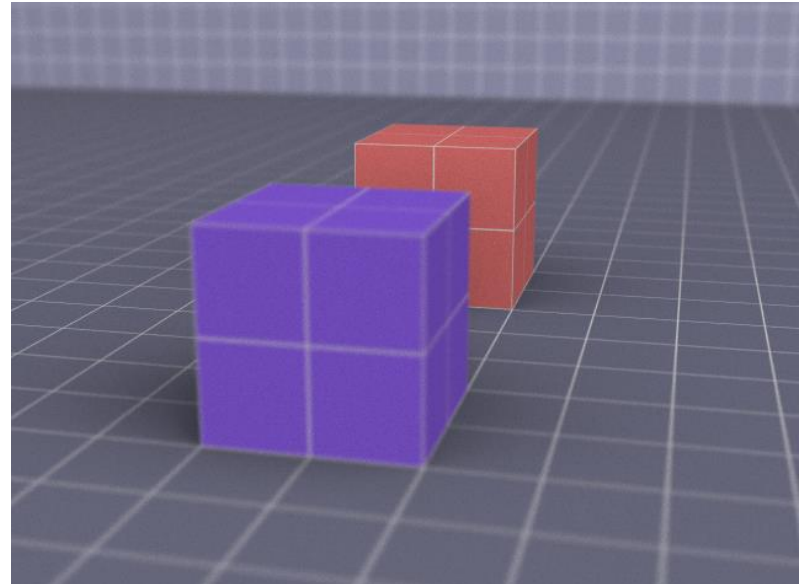
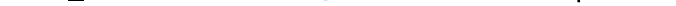
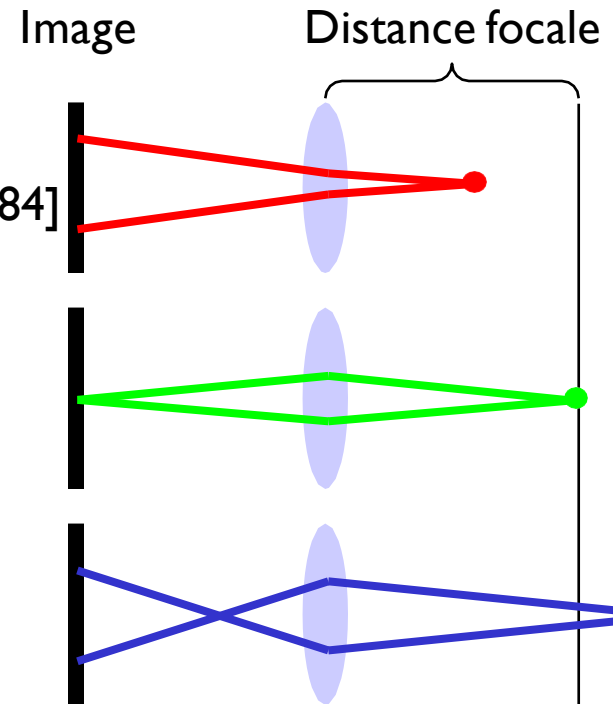


# Encore plus de rayons

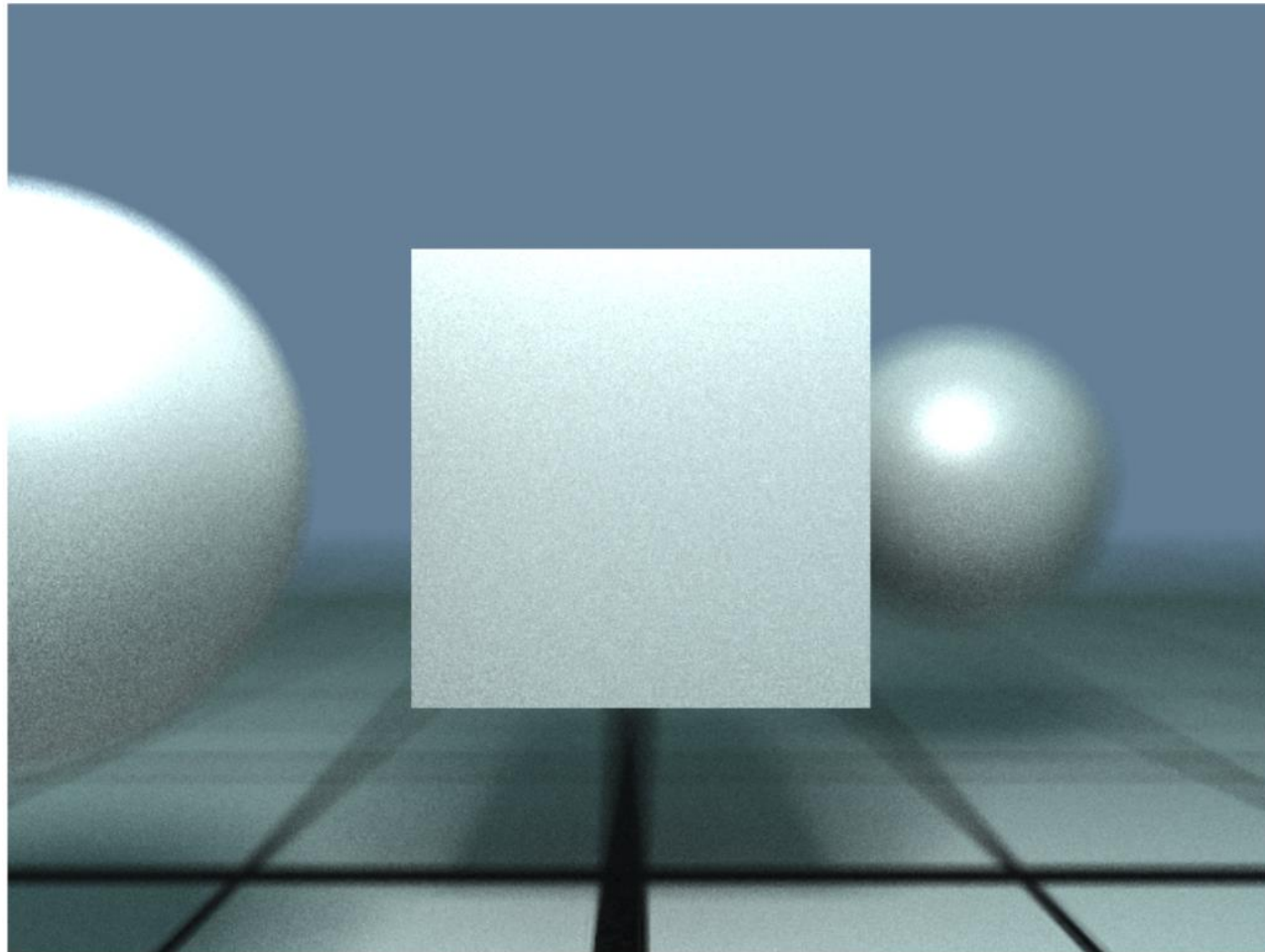
[Cook et al. 1984]

## Profondeur de champ

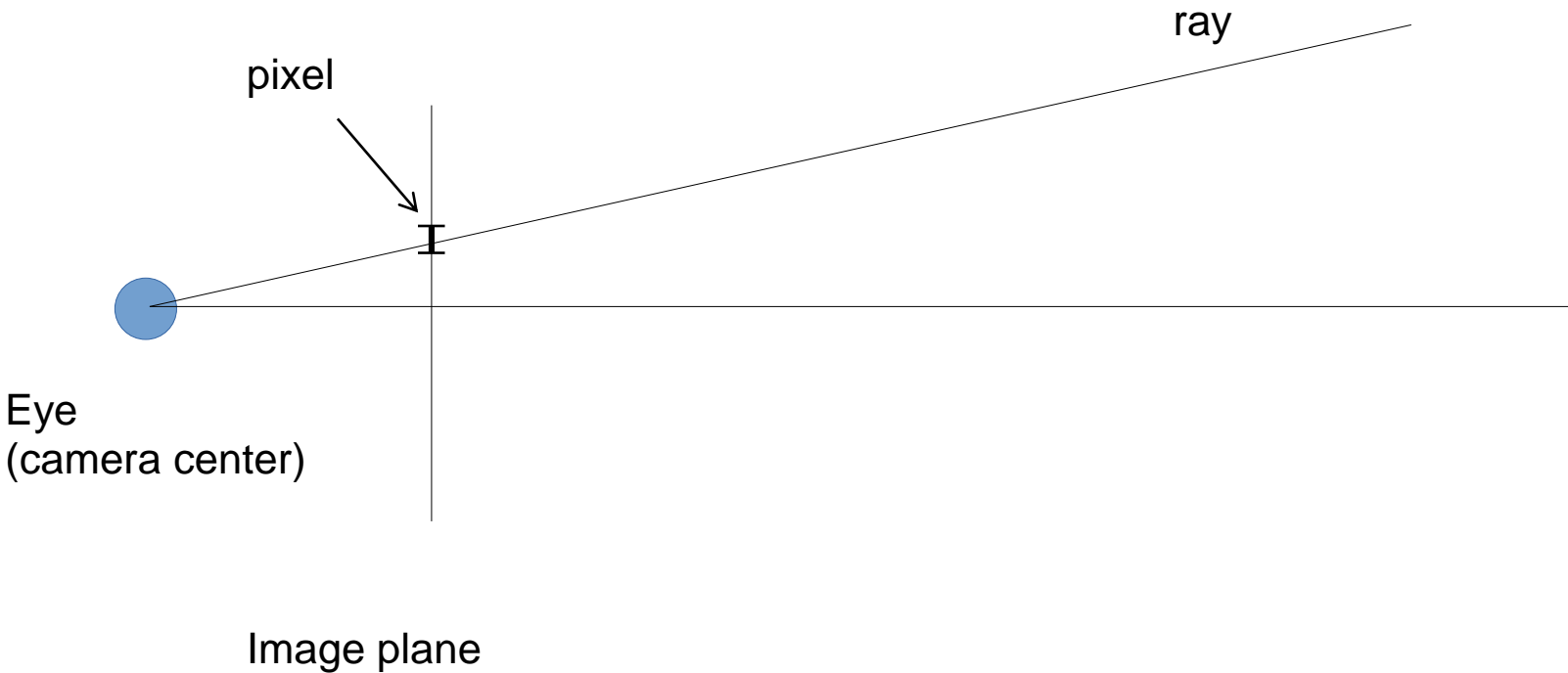
- plusieurs rayons par pixel en considérant une lentille
- changements de direction dû à l'objectif



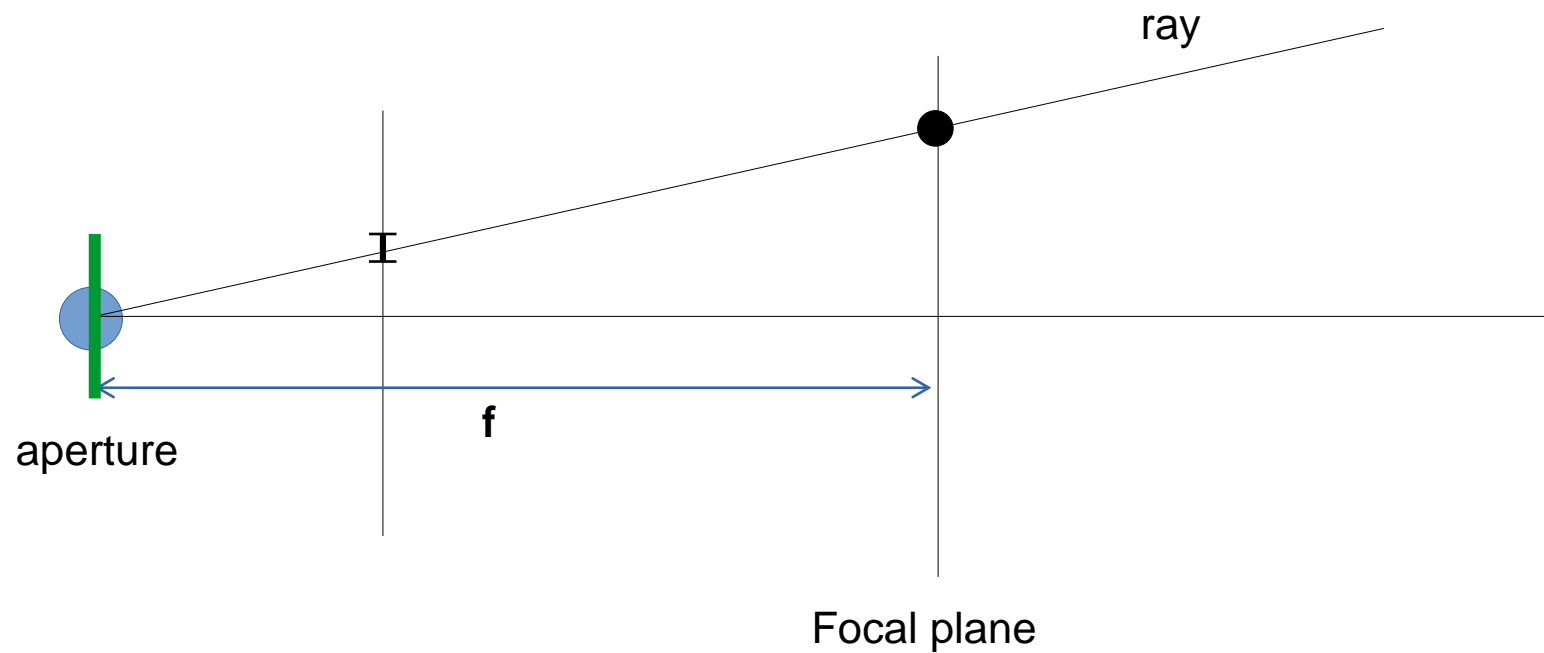
# Depth of field



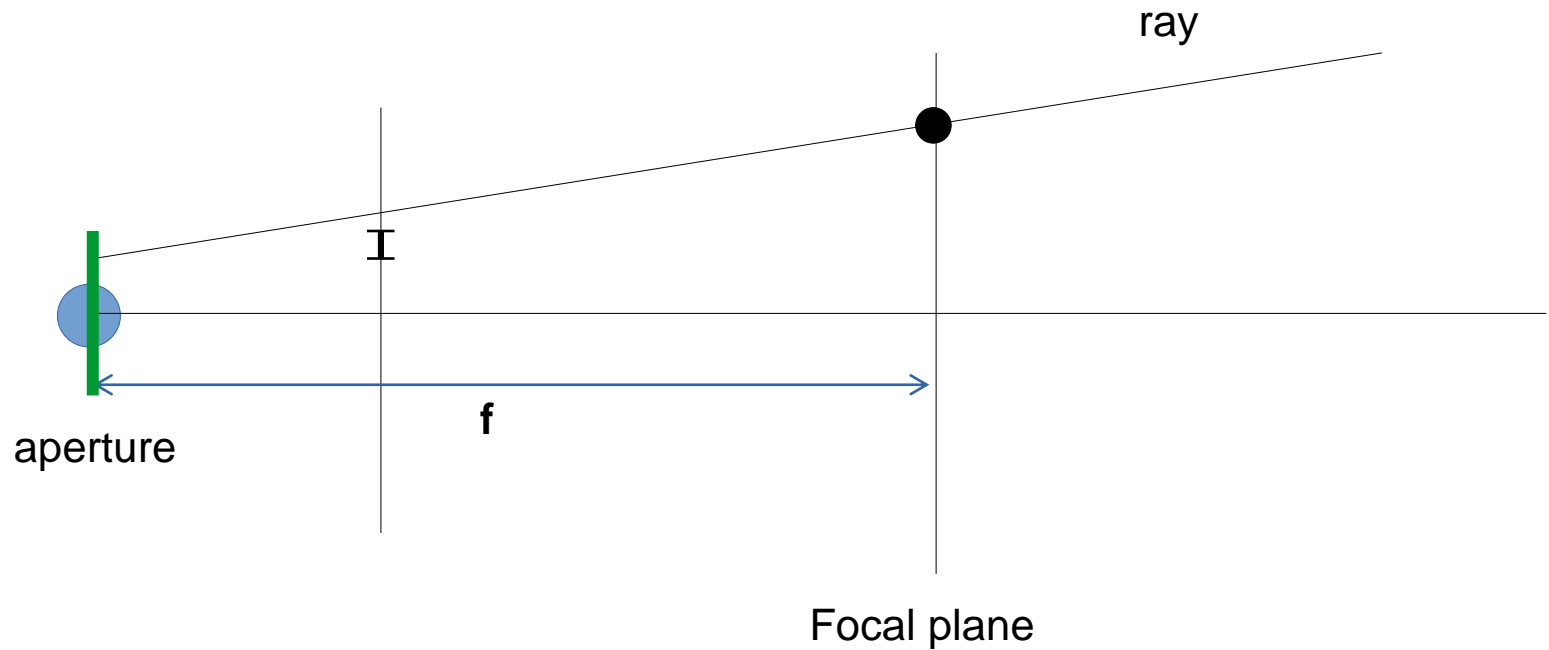
# What to change ?



# What to change ?



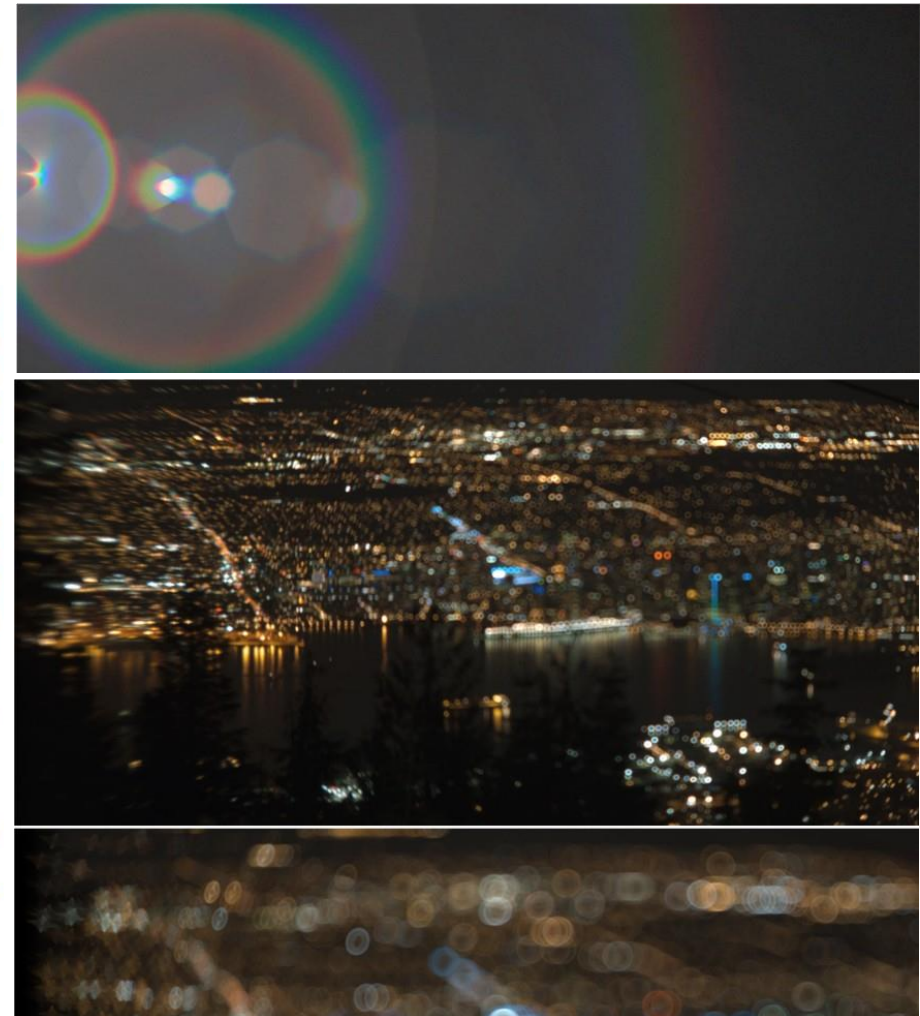
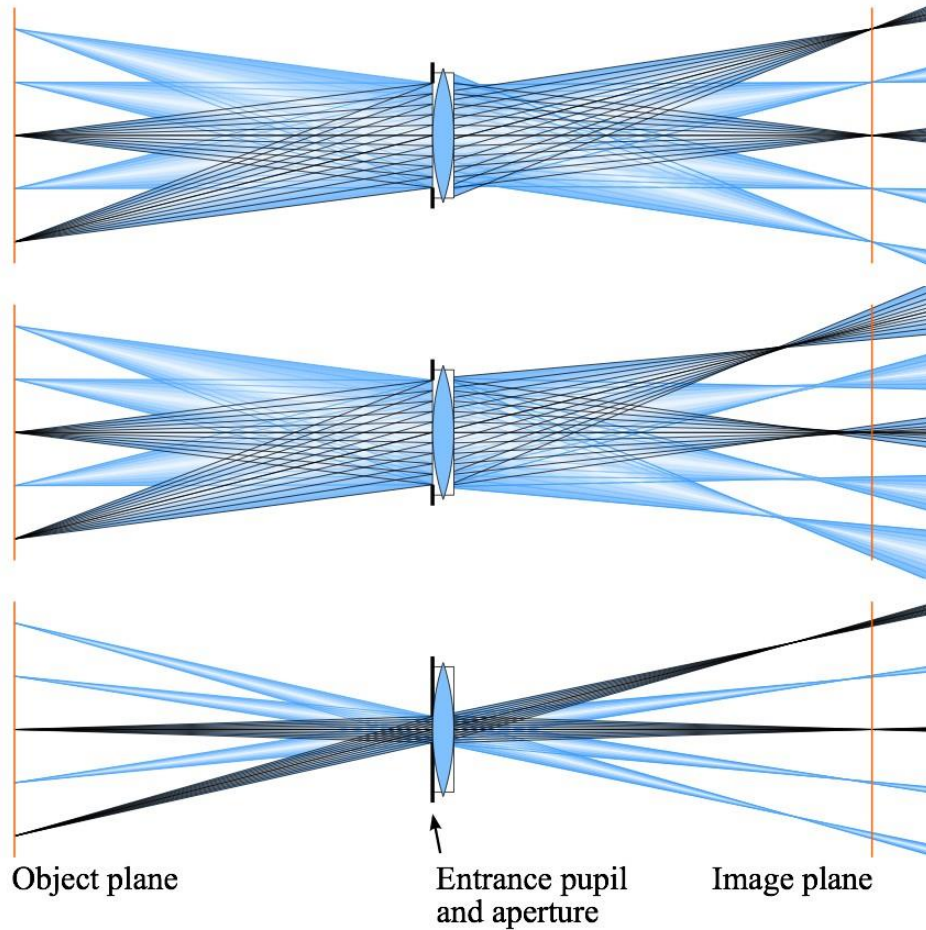
# New ray from random point in aperture



Careful ! You still add the contribution of the ray to the original pixel !

# Simulation avancée

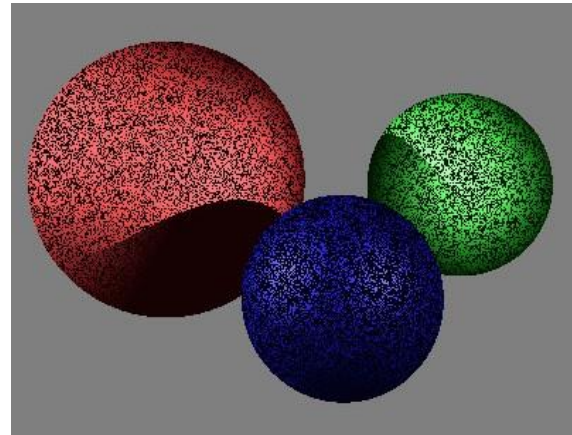
En pratique les optiques ne sont pas parfaites



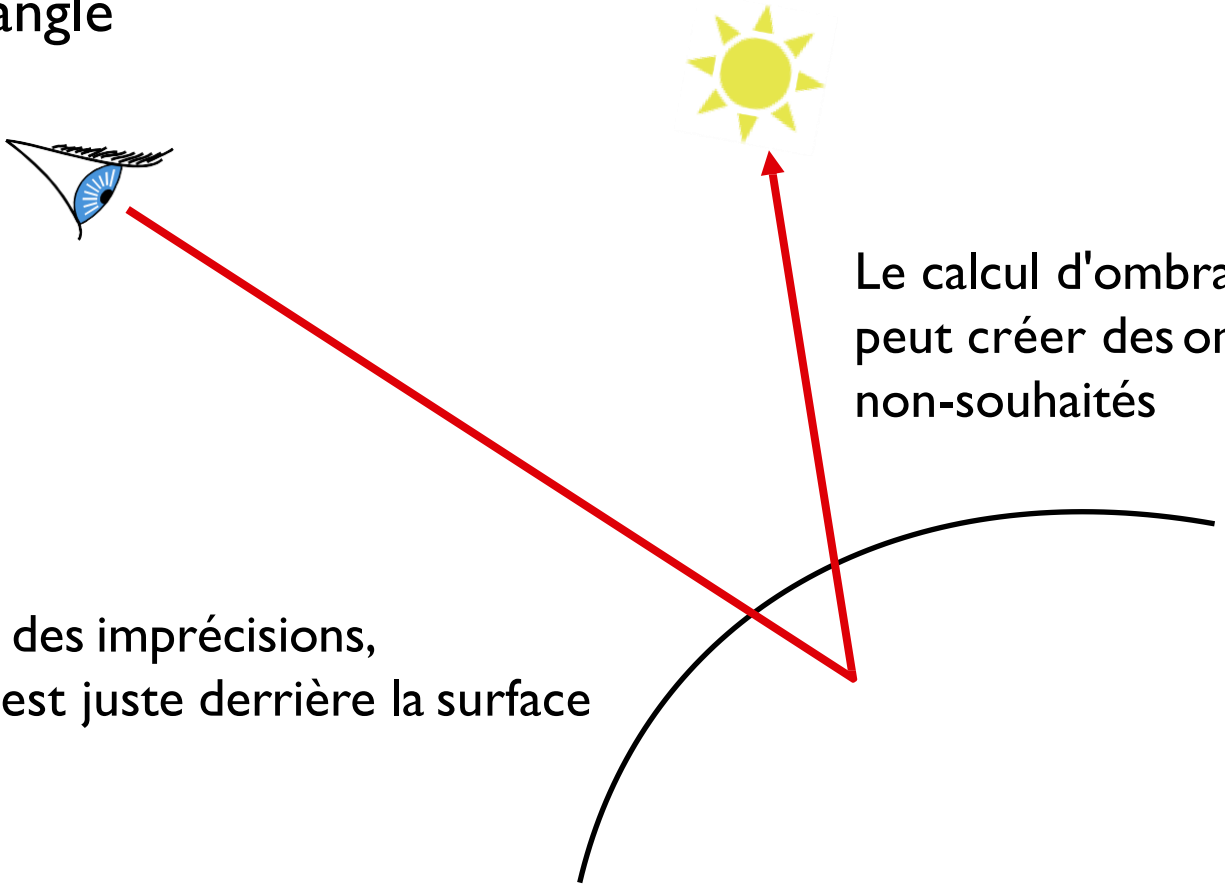
# Problème de précision

Un point n'est jamais **exactement**

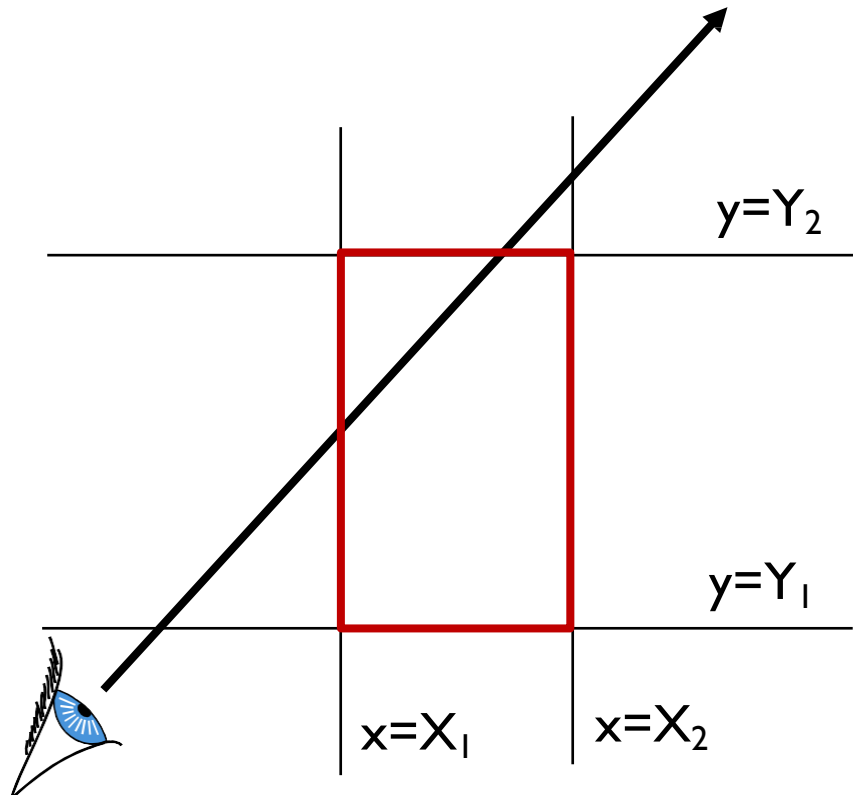
- sur le plan ou la sphère
- dans le triangle



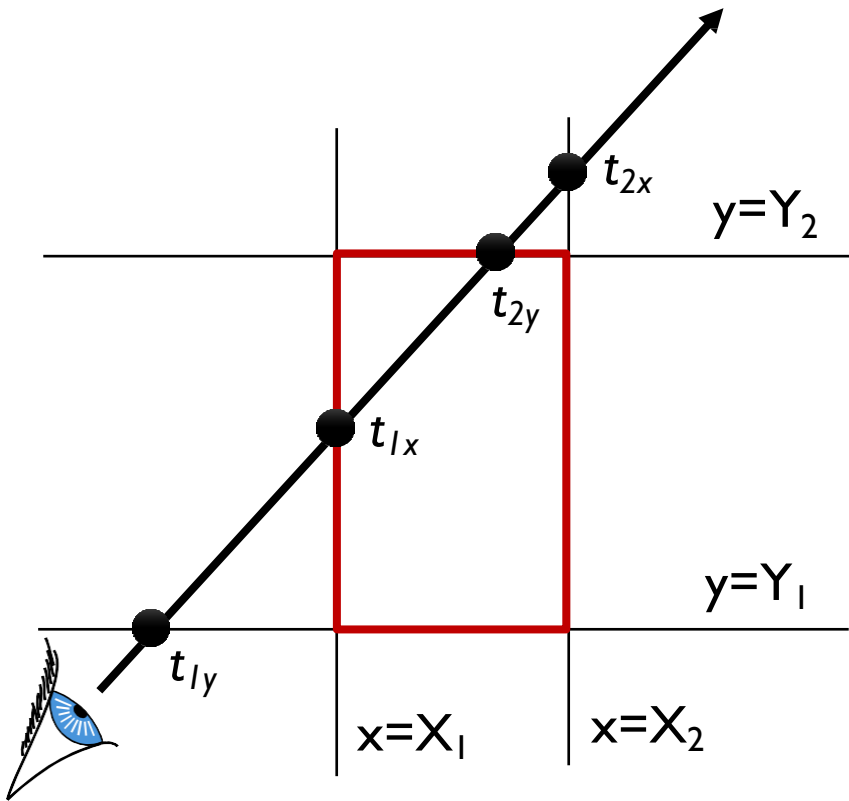
À cause des imprécisions,  
le point est juste derrière la surface



# Boîte englobante alignée sur les axes

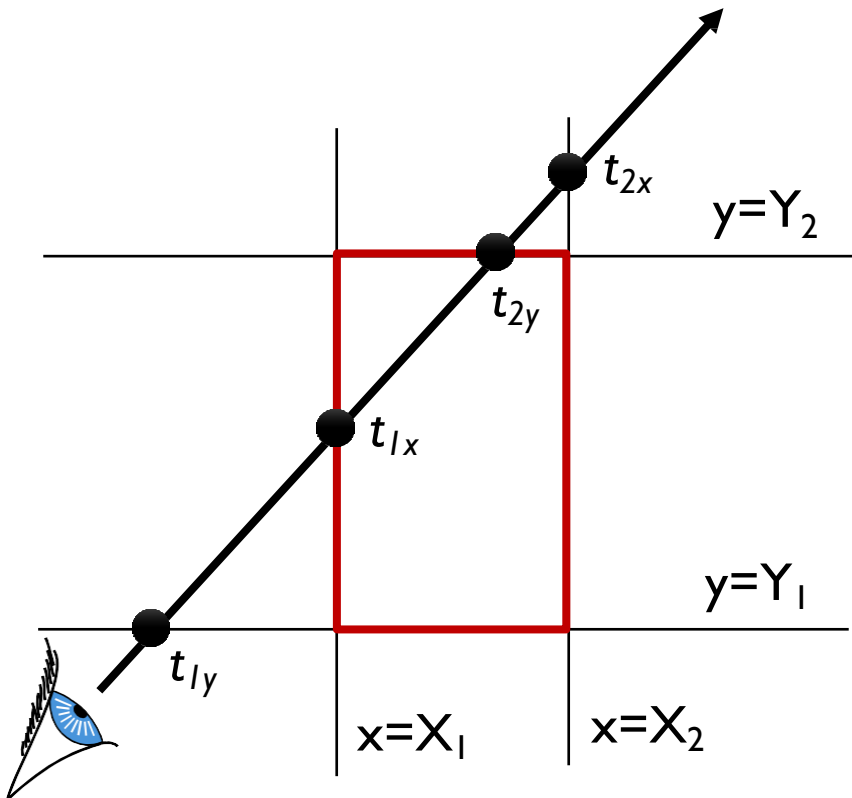


# Boîte englobante alignée sur les axes



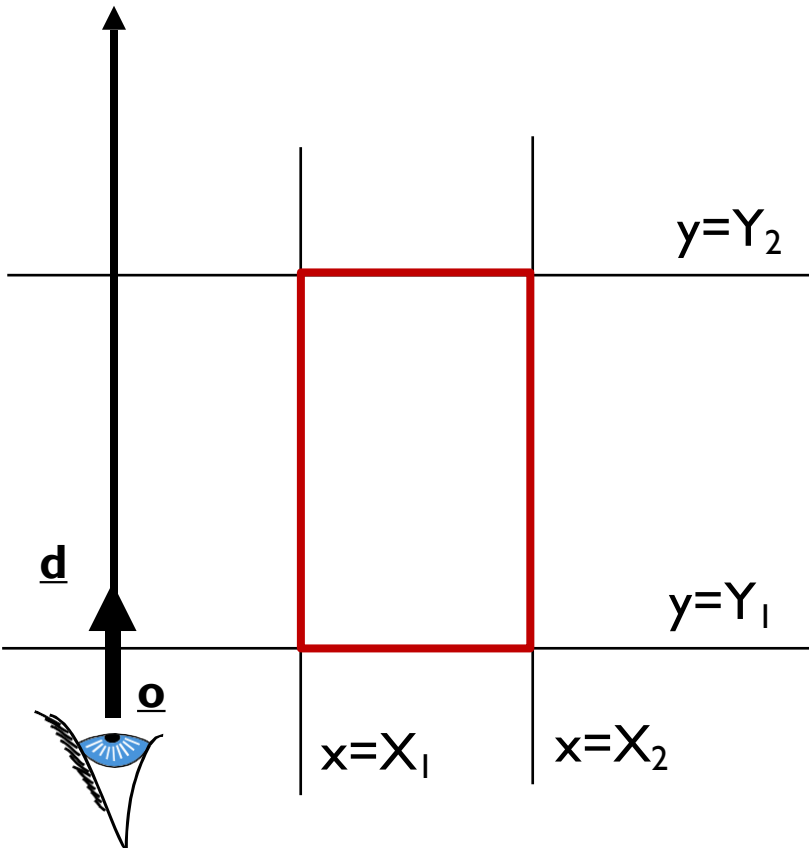
- Boîte = 6 plans
- Calculer toutes les intersections
- Conserver la plus proche **à l'intérieur** de la boîte

# Simplifier les calculs



- Chaque paire de plan a la **mêmes normale**
- Une **seule** composante de la normale est **non-nulle**  
⇒ **considérer une dimension à la fois**

# Tester si le rayon est parallèle



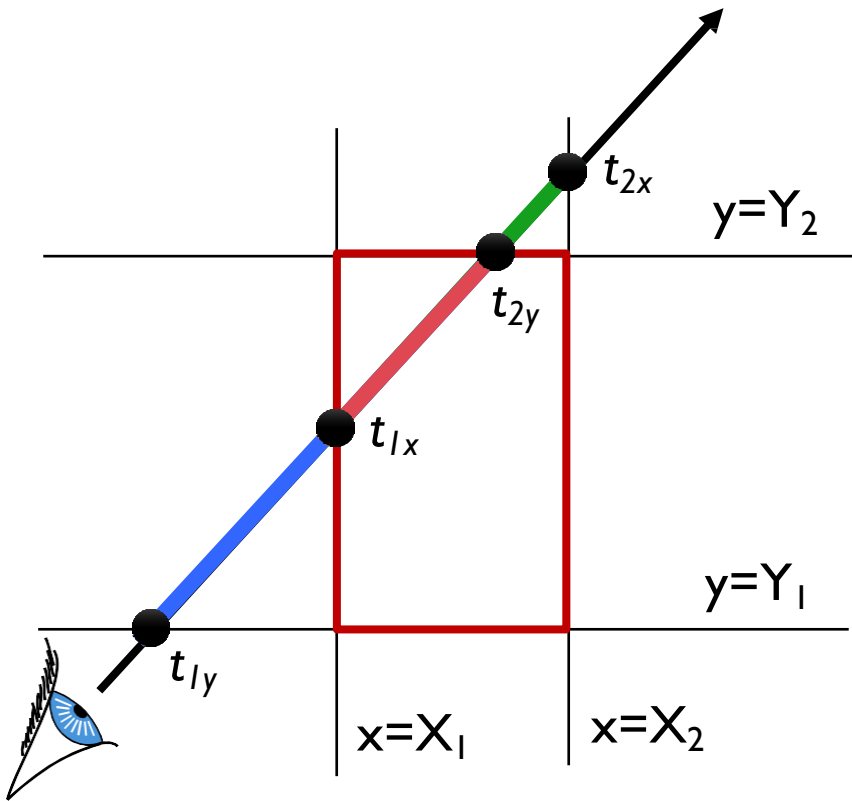
$$\underline{d_x} = 0$$

...et s'il n'y a pas d'intersection :

$$\underline{o_x} < X_1 \text{ ou } \underline{o_x} > X_2$$

(Idem en Y et Z, bien-sûr)

# Trouver les intersections par axe

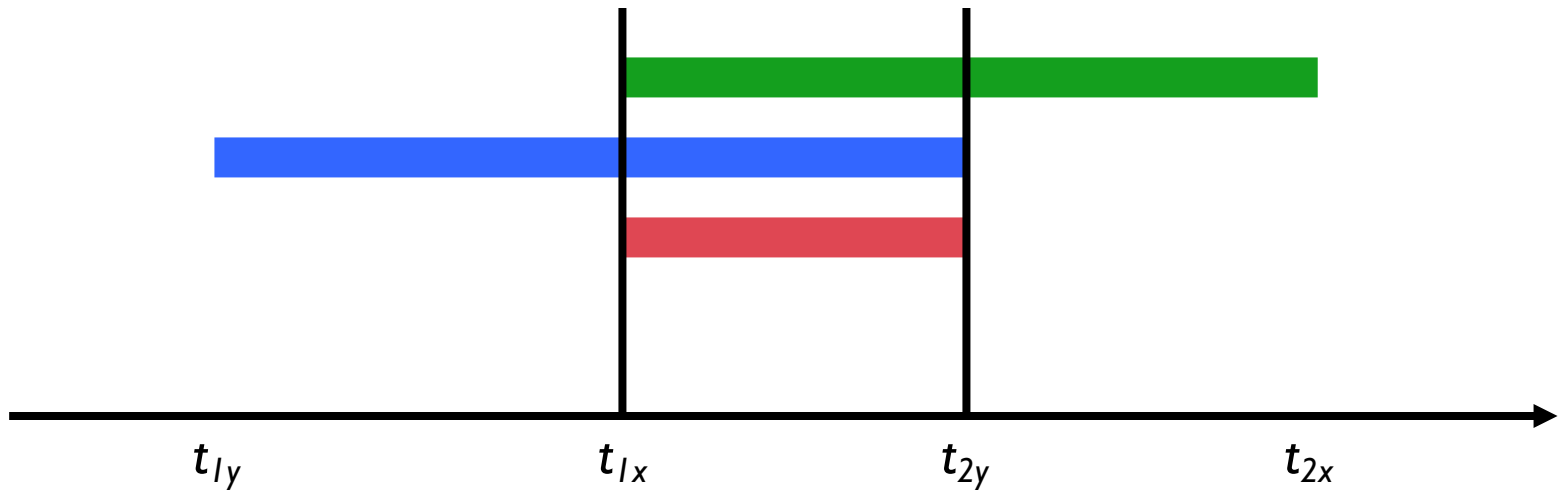


- Déterminer un intervalle par dimension
- Calculer l'intersection de ces intervalles 1D

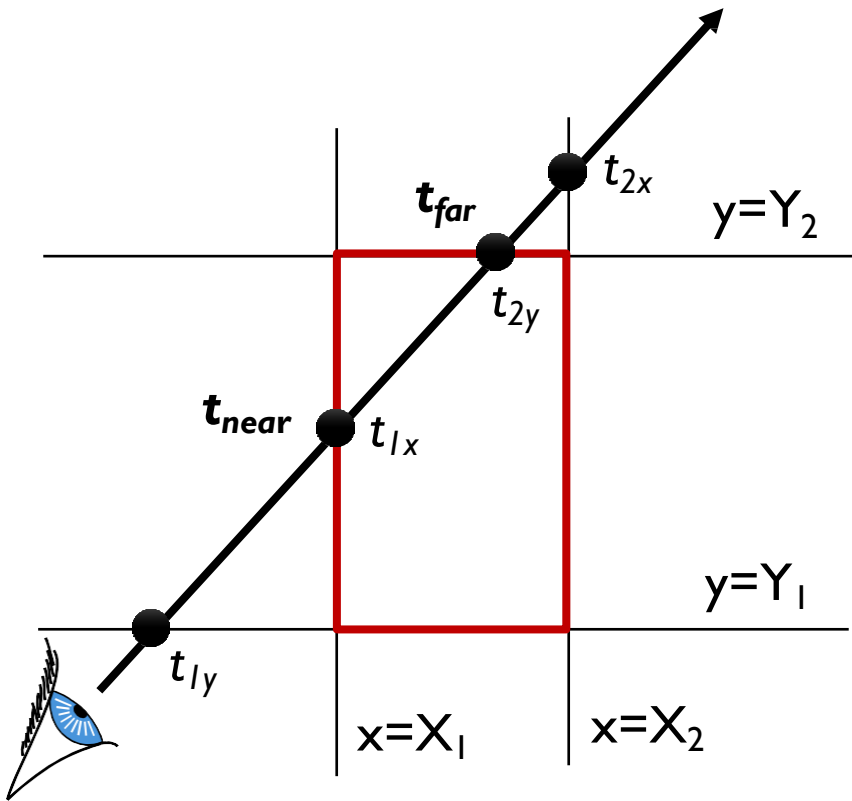
- Intervalle entre  $X_1$  et  $X_2$
- Intervalle entre  $Y_1$  et  $Y_2$
- Intersection

# Intersection d'intervalles 1D

$t_{\text{near}} =$   
max des mins       $t_{\text{far}} =$   
min des max



# Boîte englobante alignée sur les axes



Calculer les distances  
d'intersection  $t_1$  et  $t_2$  pour  
chaque axe :

$$t_{1x} = (X_1 - o_x) / d_x$$

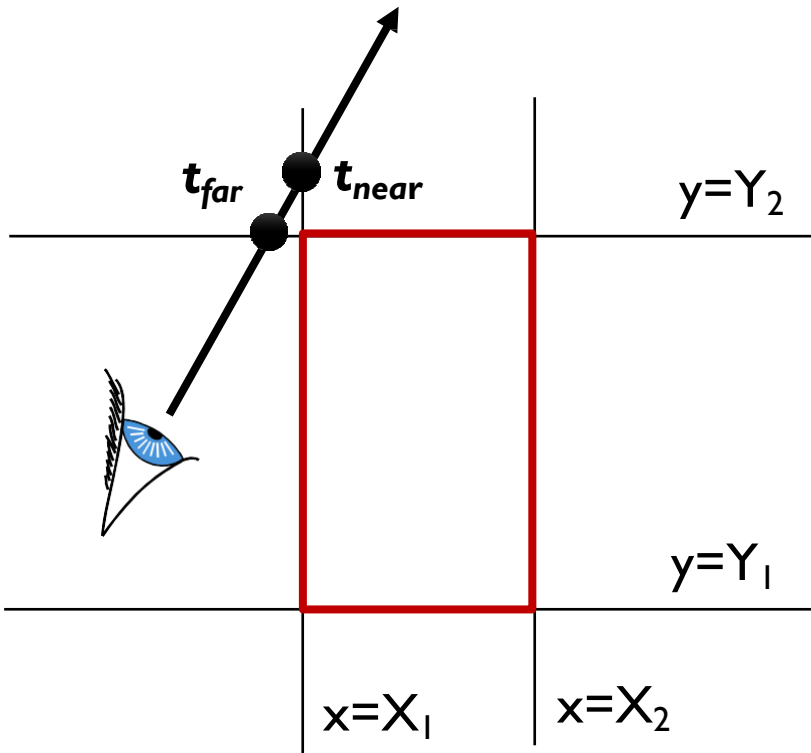
$$t_{2x} = (X_2 - o_x) / d_x$$

puis :

$$t_{near} = \max(t_{1x}, t_{1y})$$

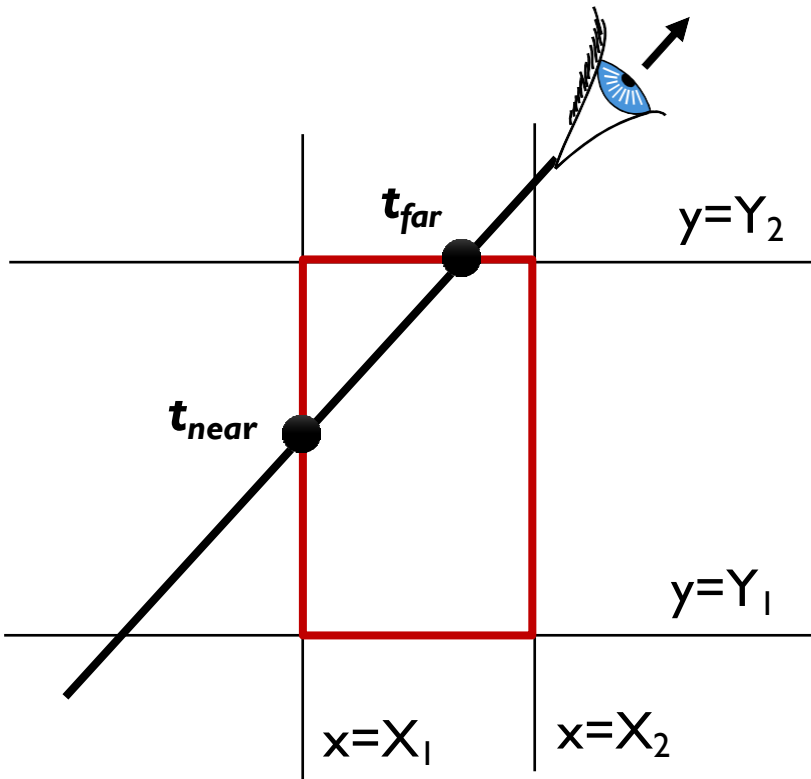
$$t_{far} = \min(t_{2x}, t_{2y})$$

# Boîte englobante alignée sur les axes



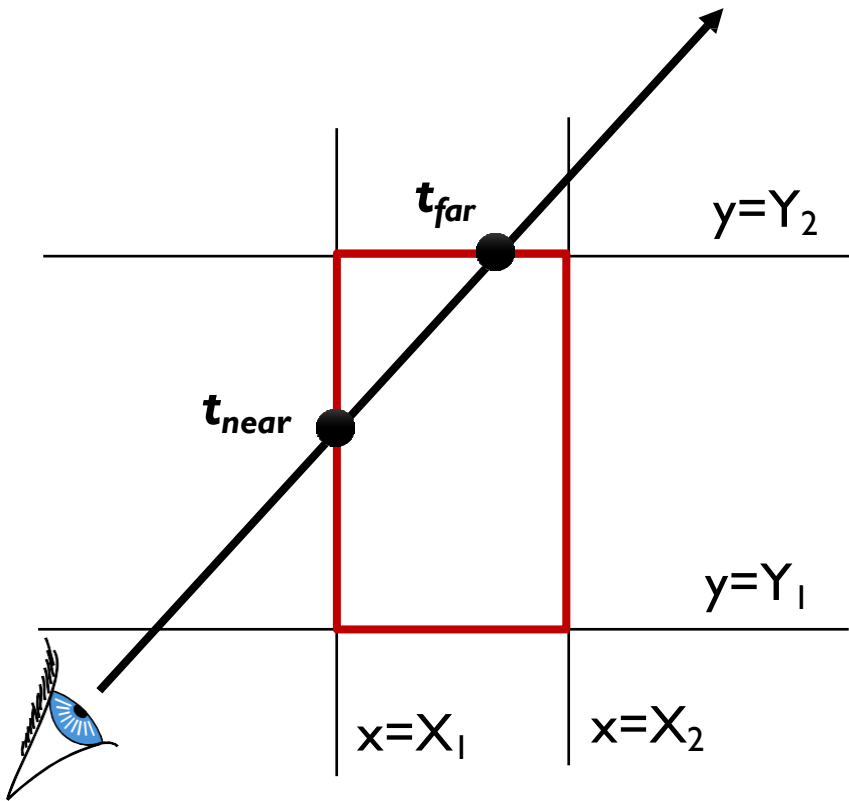
Si  $t_{near} > t_{far}$ , pas d'intersection

# Boîte englobante alignée sur les axes



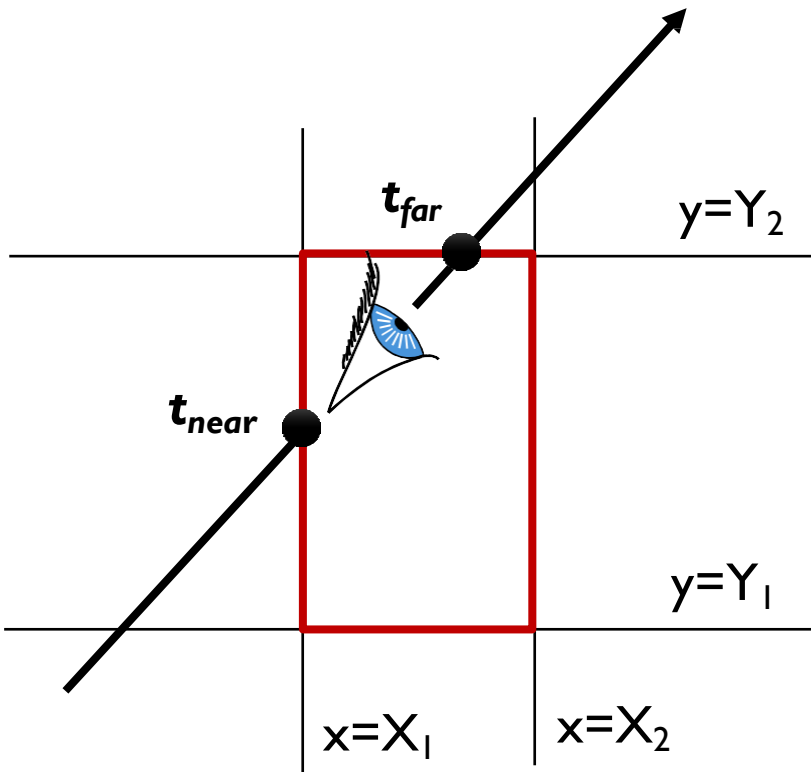
Si  $t_{far} < t_{min}$ , la boîte est derrière

# Boîte englobante alignée sur les axes



Si  $t_{near} > t_{min}$ , l'intersection se fait à la distance  $t_{near}$

# Boîte englobante alignée sur les axes



Sinon, elle se fait à  $t_{far}$

# Intersection rayon-scène

- Polygones : [Appel '68]
- Quadriques, CSG : [Goldstein & Nagel '71]
- Torres : [Roth '82]
- Patches bi-cubiques : [Whitted '80, Kajiya '82, Benthin '04]
- Surfaces algébriques : [Hanrahan '82]
- Swept surfaces : [Kajiya '83, van Wijk '84]
- Fractales : [Kajiya '83]
- NURBS : [Stürzlinger '98]
- Surfaces de subdivision : [Kobbelt et al. '98, Benthin '04]
- Points : [Schaufler et al. '00, Wald '05]

# Structures d'accélération

## Trouver l'intersection la plus proche

- Tester l'intersection du rayon avec **tous** les objets
- $N$  objets,  $M$  rayons  $\Rightarrow O(NM)$
- Trop coûteux !

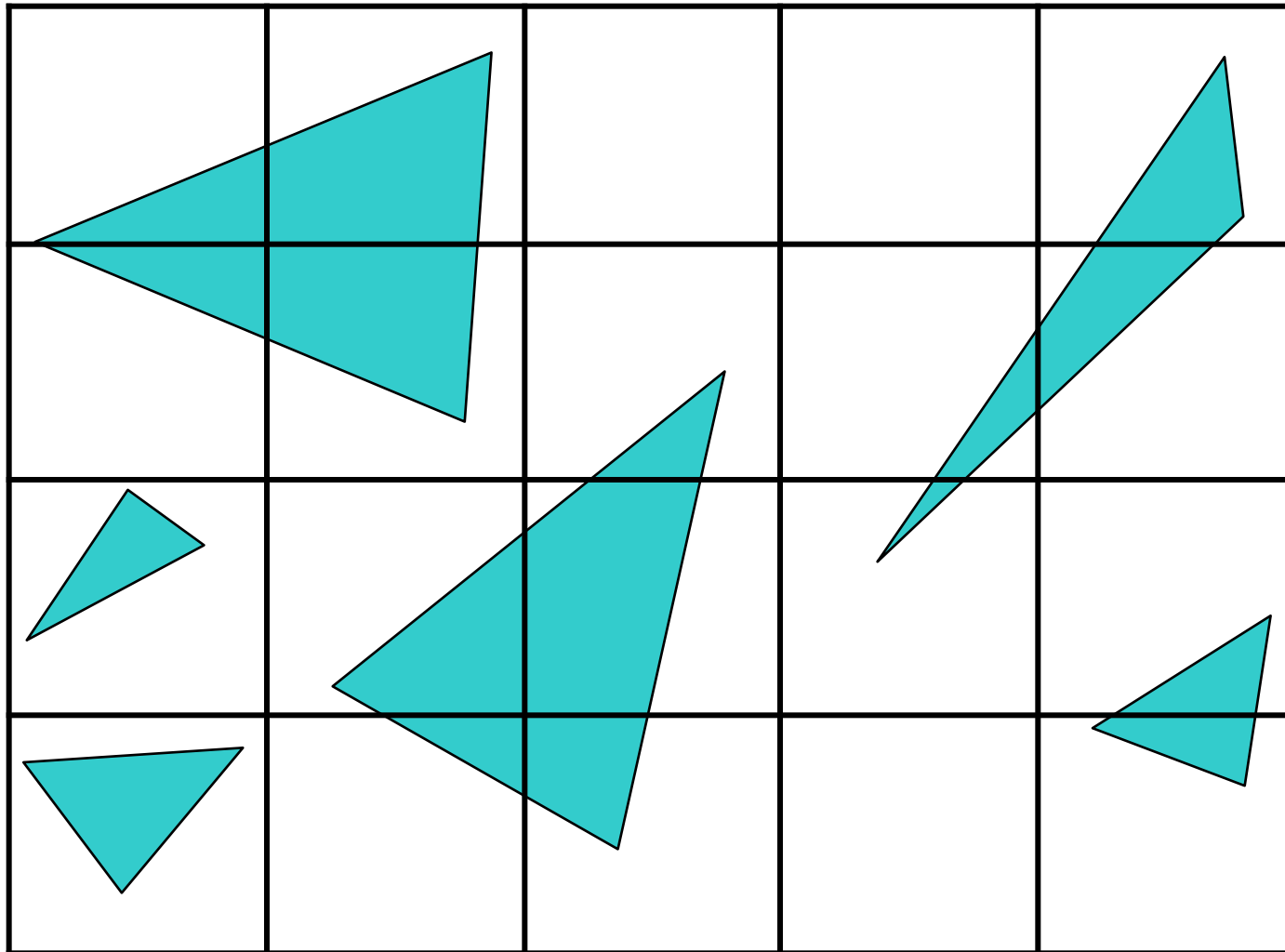
## Objectif

- Faire en sorte que la 1ère intersection calculée soit la bonne
- En pratique : compromis

## Solution : **partitionnement de l'espace**

(souvent hiérarchique)

# Grille régulière



# Grille régulière

## Construction

- Subdivision de la boîte englobante
- Résolution : souvent  $\sim 3\sqrt{n}$
- Une cellule : liste des objets l'intersectant

## Parcours

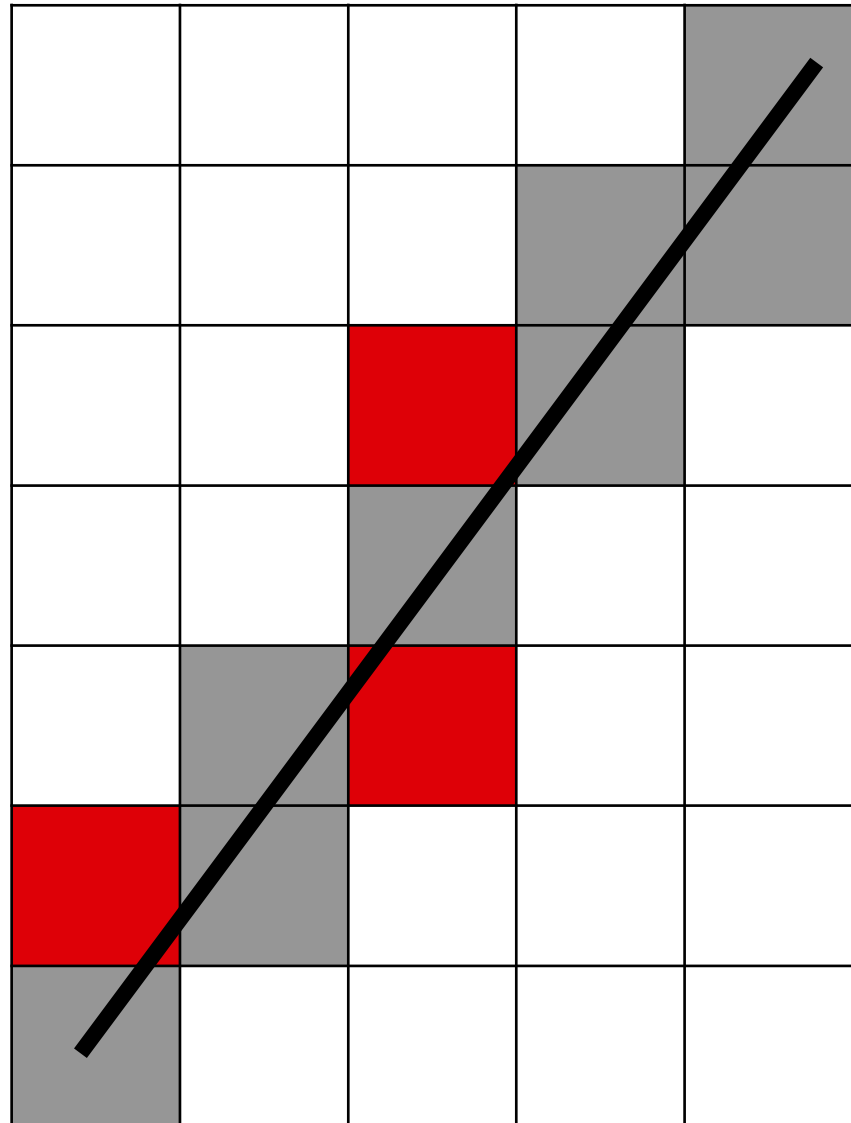
- De proche en proche
- De l'origine vers l'arrière
- Arrêt si une intersection est trouvée

# Parcours dans la grille

## 3DDDA

*Three Dimensional Digital Difference Analyzer*

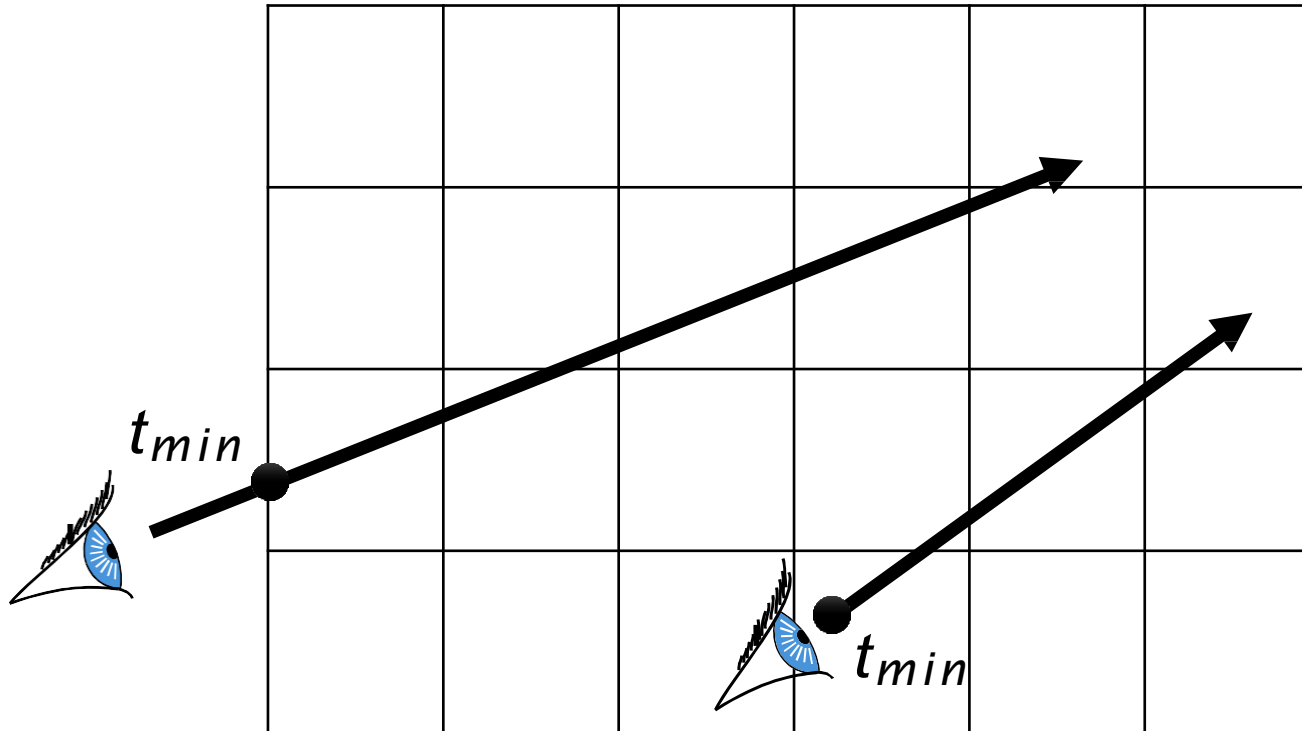
**Similaire à la rastérisation**  
...mais on veut **toutes** les **cellules intersectant le rayon**



# Initialisation

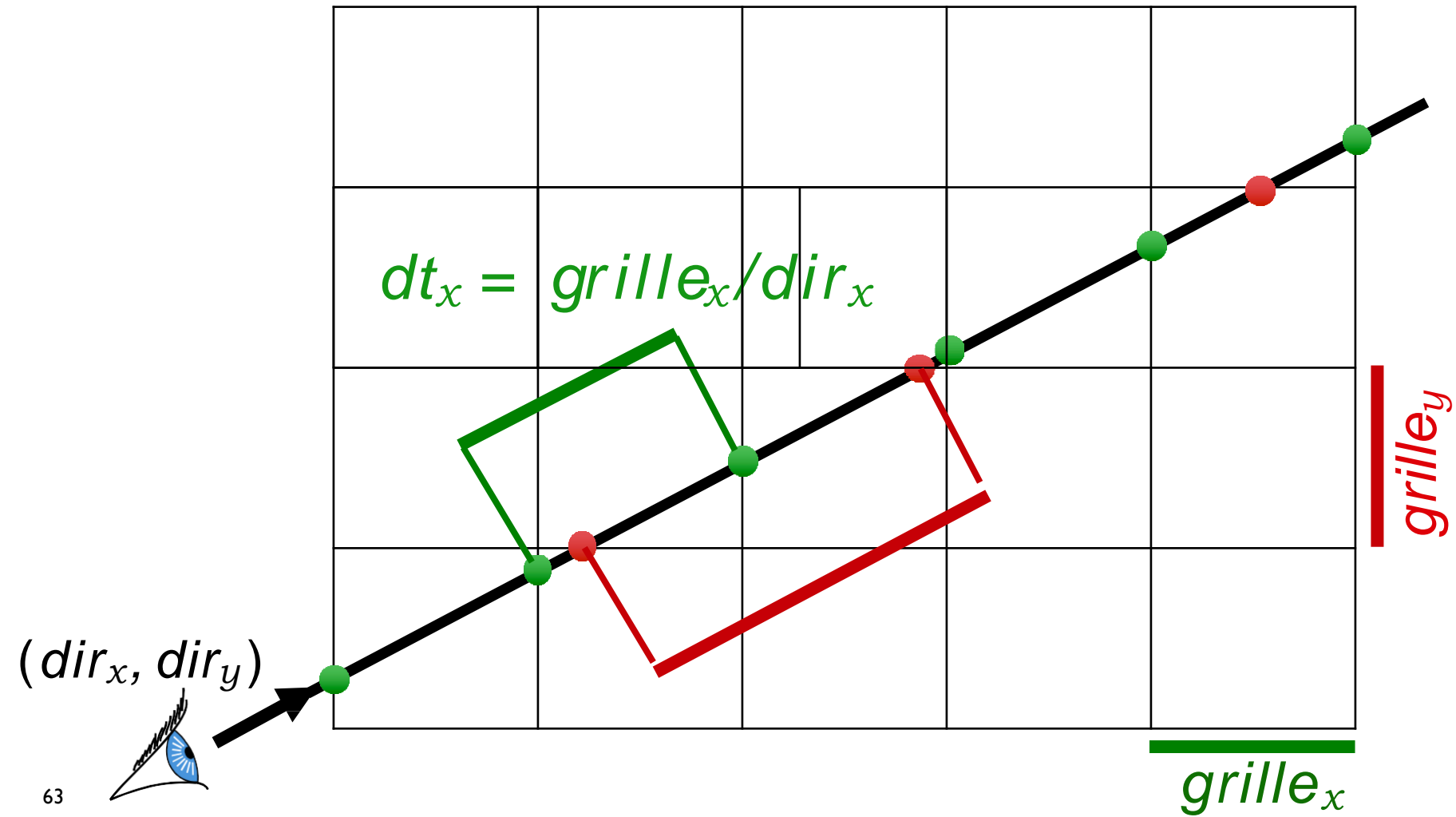
Calculer l'intersection avec la boîte englobante  $t_{min}$

(Attention, l'origine du rayon peut être dans la boîte)



# L'intersection est répétitive

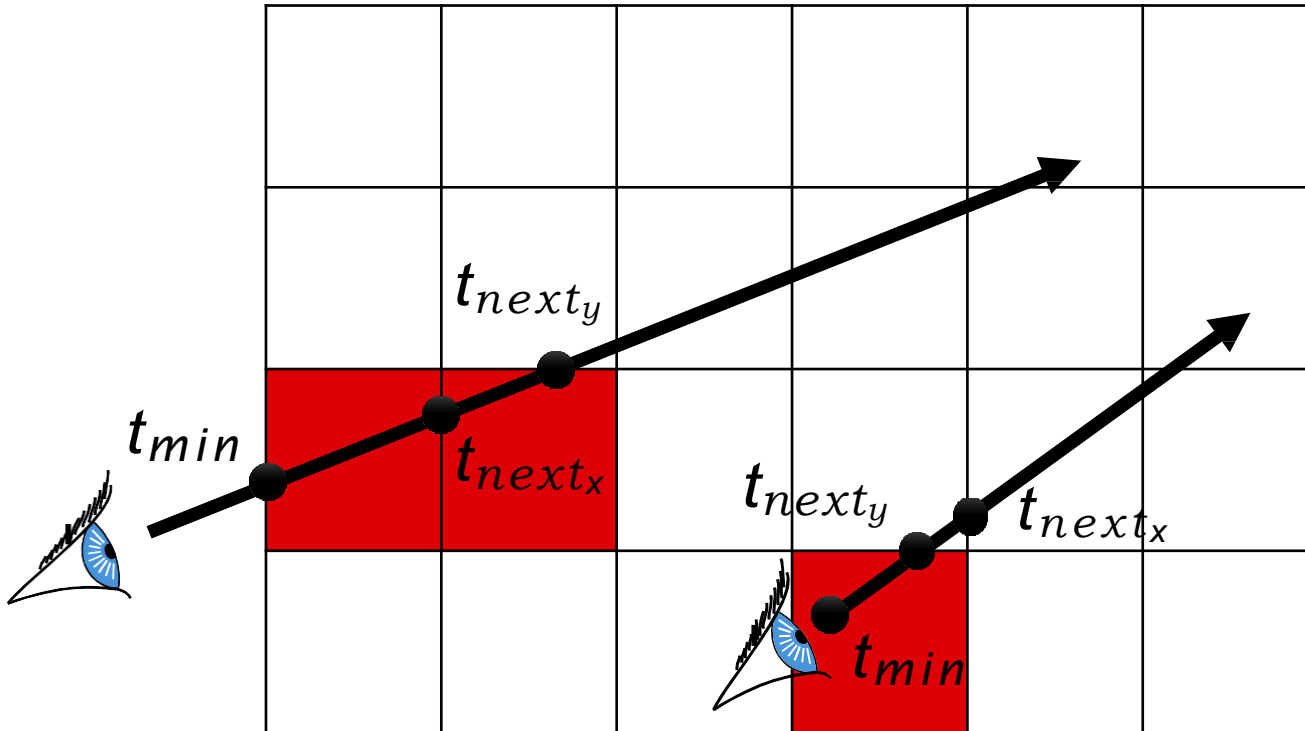
Les intersections sur les axes sont équidistantes



# Choisir la cellule suivante

Calculer les 2 intersections suivantes avec les axes

$$\begin{cases} t_{next_x} \\ t_{next_y} \end{cases}$$



# Choisir la cellule suivante

if  $t_{next_x} < t_{next_y}$  then

$i \leftarrow i + sign_x$

$t_{min} = t_{next_x}$

$t_{next_x} \leftarrow t_{next_x} + dt_x$

else

$j \leftarrow j + sign_y$

$t_{min} = t_{next_y}$

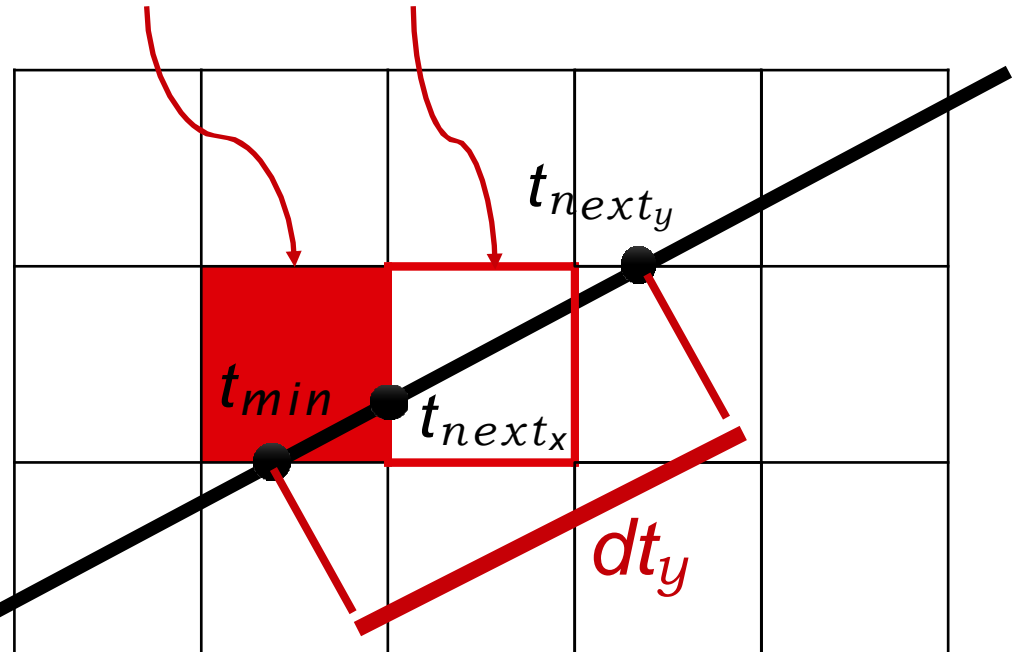
$t_{next_y} \leftarrow t_{next_y} + dt_y$

end if



$(dir_x, dir_y)$

Cellule(i,j) Cellule(i+1,j)



if  $dir_n > 0$  then  $sign_n \leftarrow 1$  else  $sign_n \leftarrow -1$  end if

# Choisir la cellule suivante

if  $t_{next_x} < t_{next_y}$  then

$i \leftarrow i + sign_x$

$t_{min} = t_{next_x}$

$t_{next_x} \leftarrow t_{next_x} + dt_x$

else

$j \leftarrow j + sign_y$

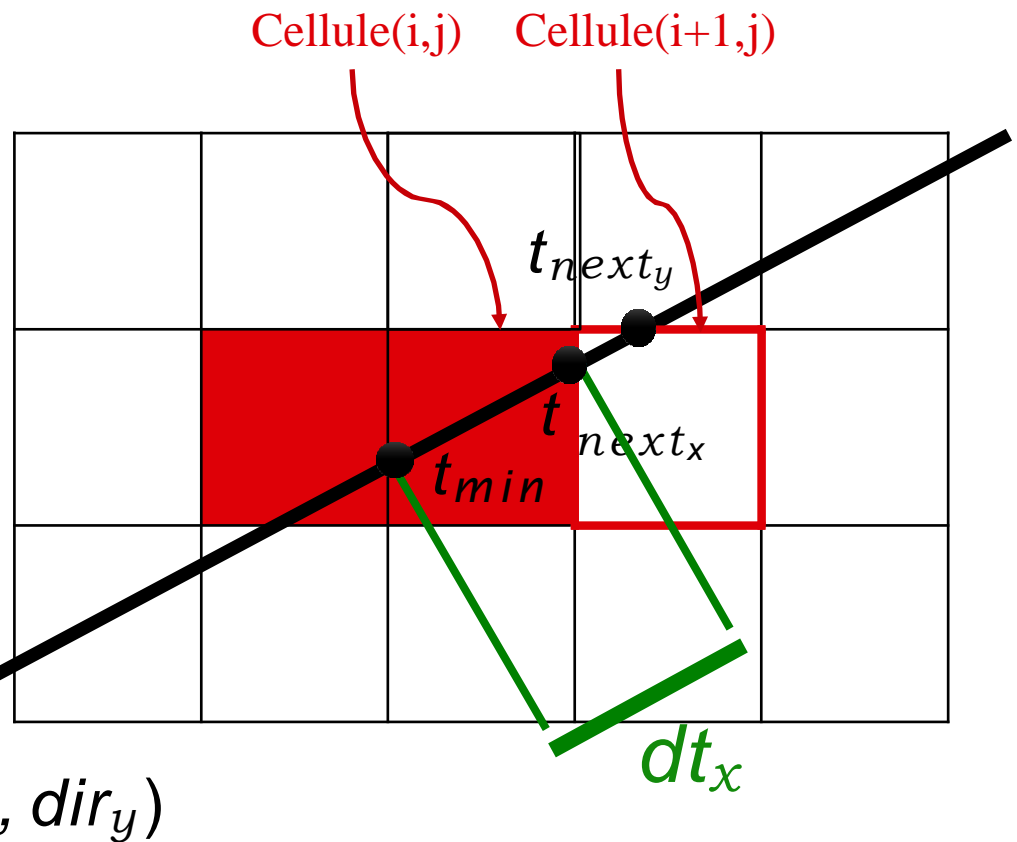
$t_{min} = t_{next_y}$

$t_{next_y} \leftarrow t_{next_y} + dt_y$

end if



$(dir_x, dir_y)$



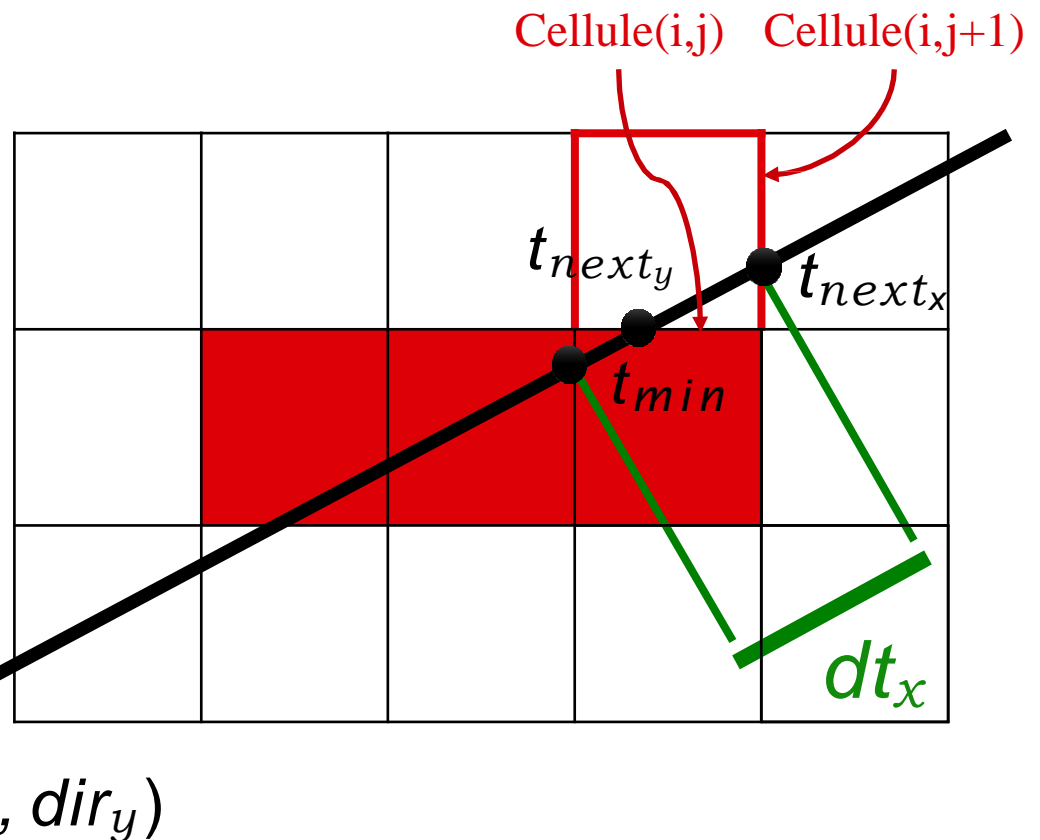
if  $dir_n > 0$  then  $sign_n \leftarrow 1$  else  $sign_n \leftarrow -1$  end if

# Choisir la cellule suivante

```
if  $t_{next_x} < t_{next_y}$  then  
     $i \leftarrow i + sign_x$   
     $t_{min} = t_{next_x}$   
     $t_{next_x} \leftarrow t_{next_x} + dt_x$   
else  
     $j \leftarrow j + sign_y$   
     $t_{min} = t_{next_y}$   
     $t_{next_y} \leftarrow t_{next_y} + dt_y$   
end if
```



$(dir_x, dir_y)$



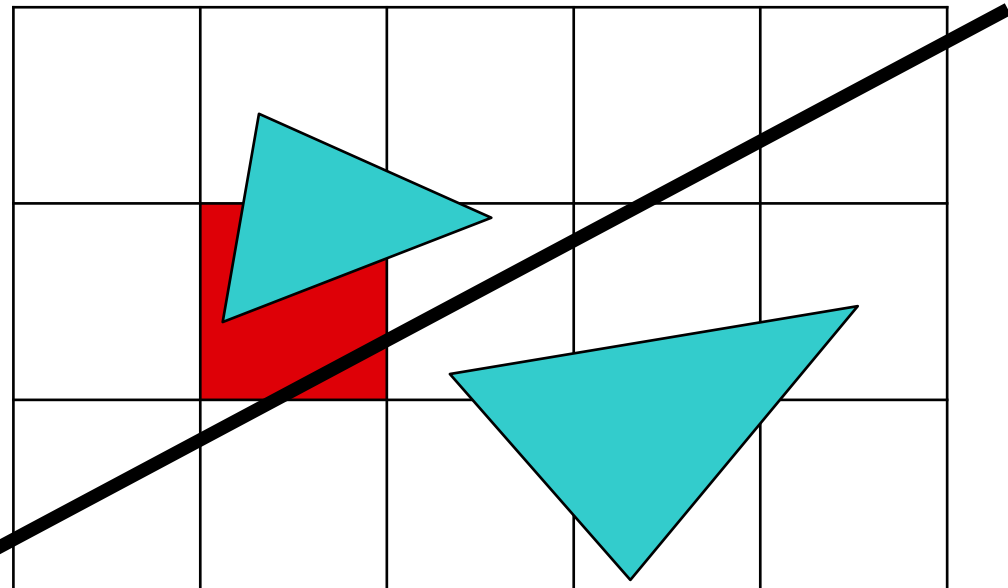
```
if  $dir_n > 0$  then  $sign_n \leftarrow 1$  else  $sign_n \leftarrow -1$  end if
```

# Test à faire sur chaque cellule

**Intersection(s) dans la cellule ?**

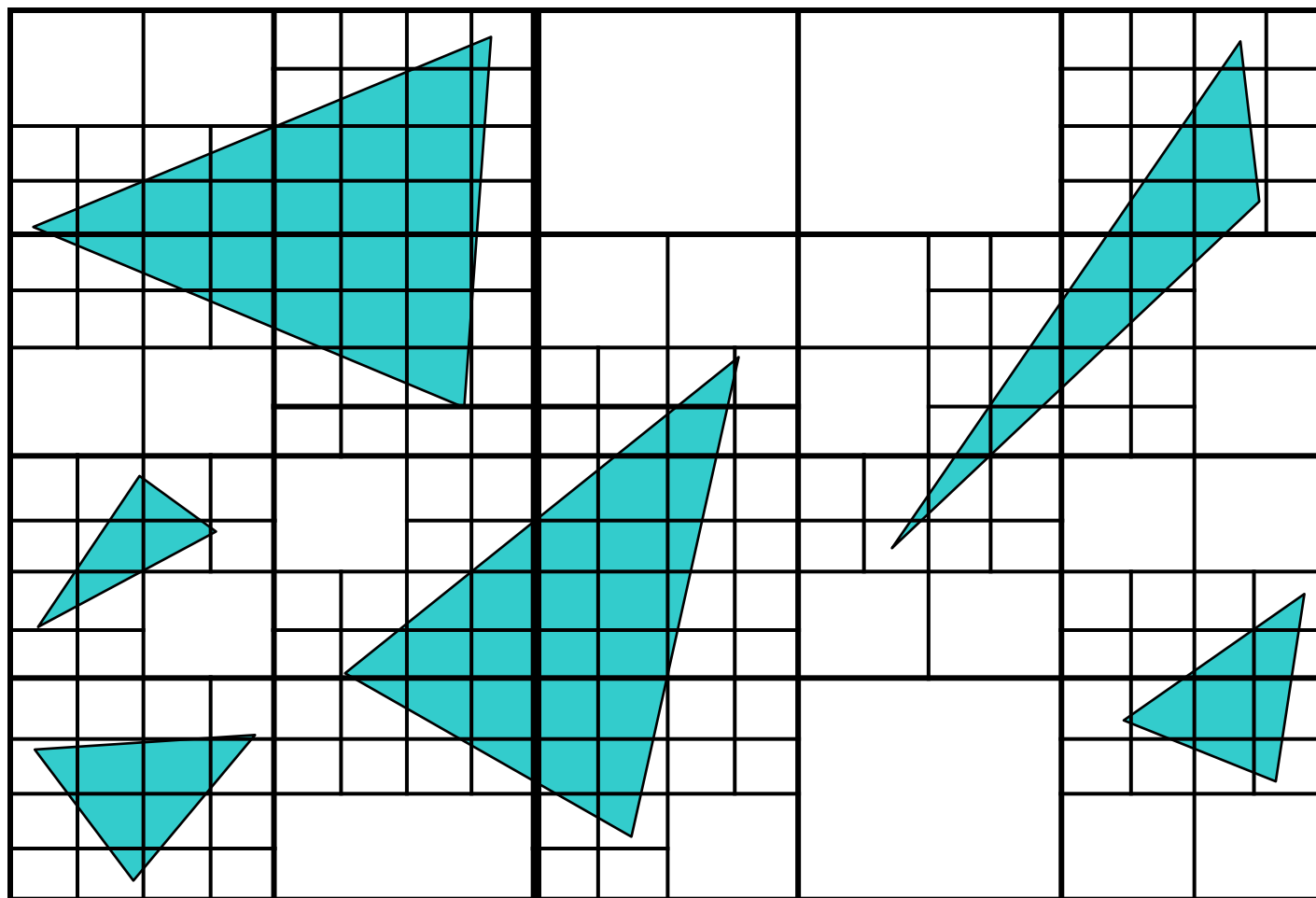
- Oui : retourner la plus proche
- Non : continuer

**Optimisation**  
marquer les objets  
déjà testés  
(mais plus compliqué)



# Grille adaptative : Octree

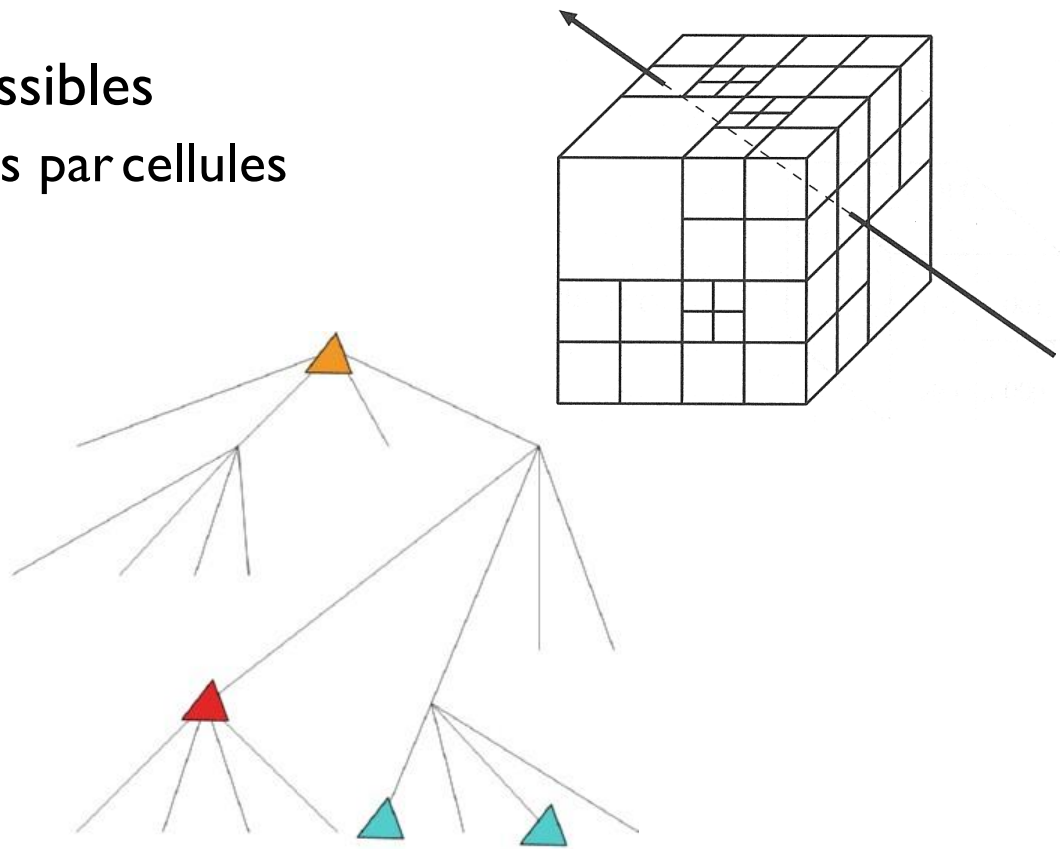
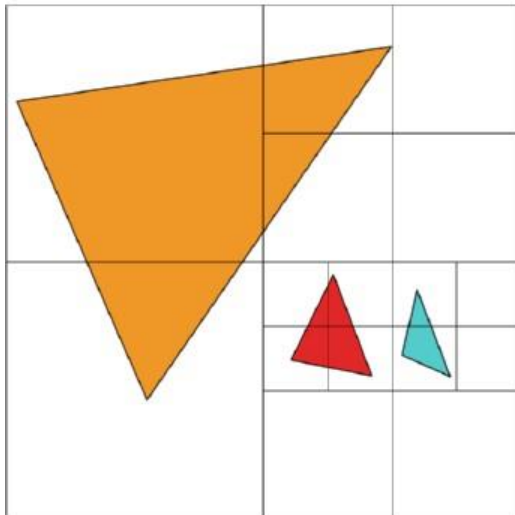
[Meagher '80]



# Grille adaptative : Octree

## Partitionnement hiérarchique de l'espace

- Subdivise adaptivement chaque voxel en **8** sous-voxels de manière récursive
- Différents critères possibles
  - nombre de primitives par cellules
  - ratio de « vide »



# Comparaison

## Grille régulière

- ✓ construction facile et rapide
- ✓ parcours simple
- ✗ nombreuses cellules vides
- ✗ cellules avec beaucoup d'objets
- ✗ choix de la résolution

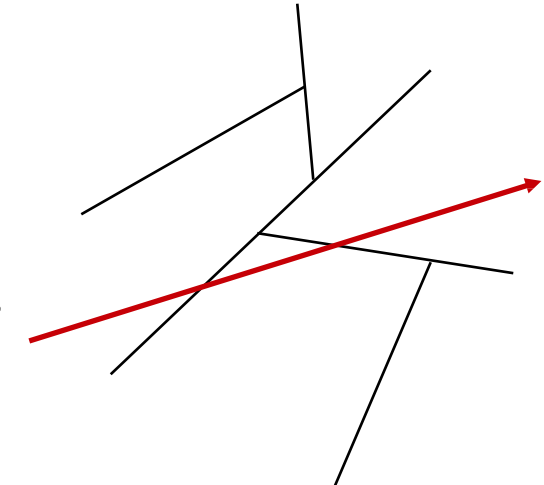
## Octree

- ✓ initialisation rapide
- ✓ peu de cellules vides
- ✗ parcours récursif couteux
- ✗ convergence lente pour les zones complexes

# Grille adaptative : BSP- et Kd-Trees

## Arbres binaires

- Nœud = plan de subdivision de l'espace

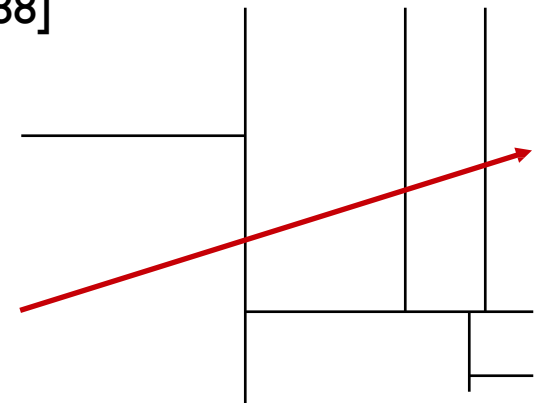


## Binary Space Partition [Fuchs et al. 1980]

- Plans quelconques « judicieusement » placés
- Couteux à construire, stocker et utiliser
- 

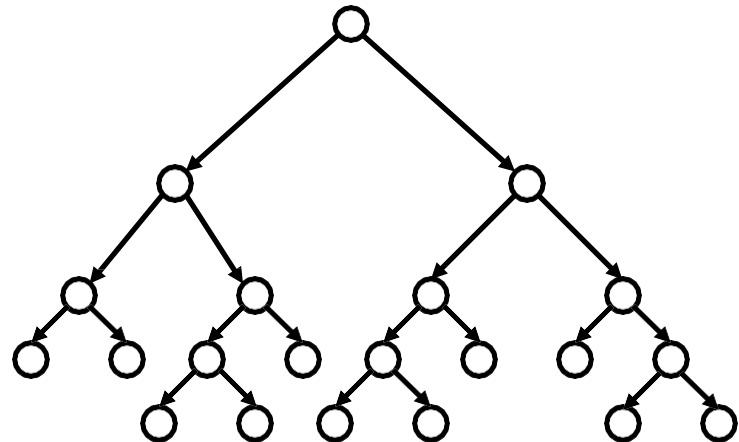
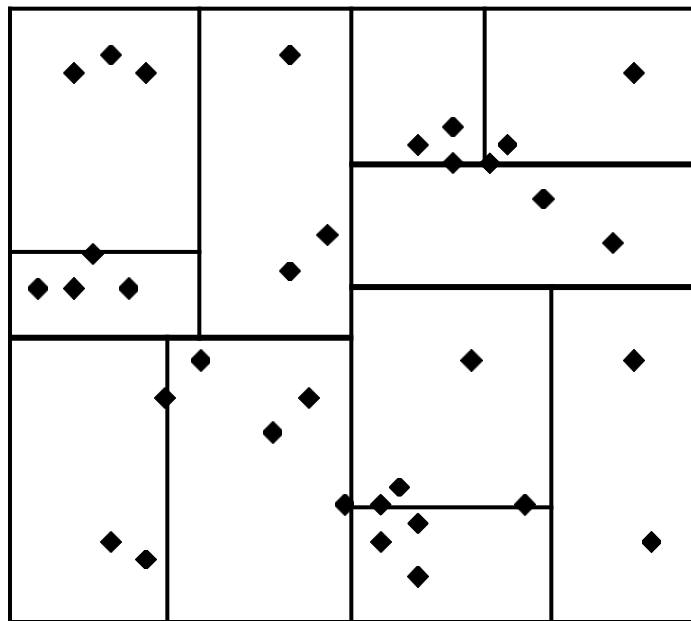
## Kd-Tree [Bentley 1975, Fussell and Subramanian 1988]

- Plans alignés sur les axes
- Simple, léger et très efficace



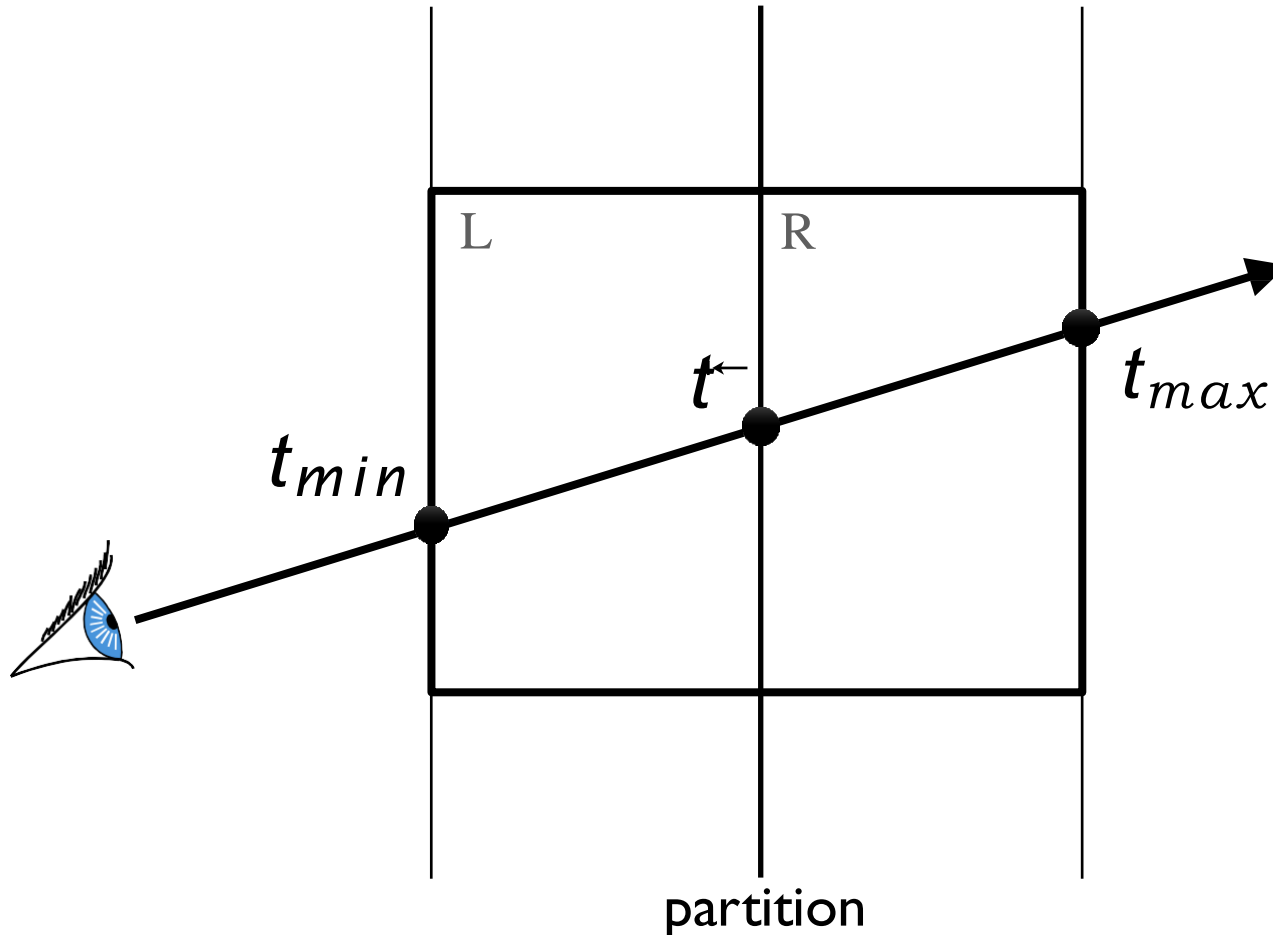
# KD-tree : définition

## Subdivision récursive



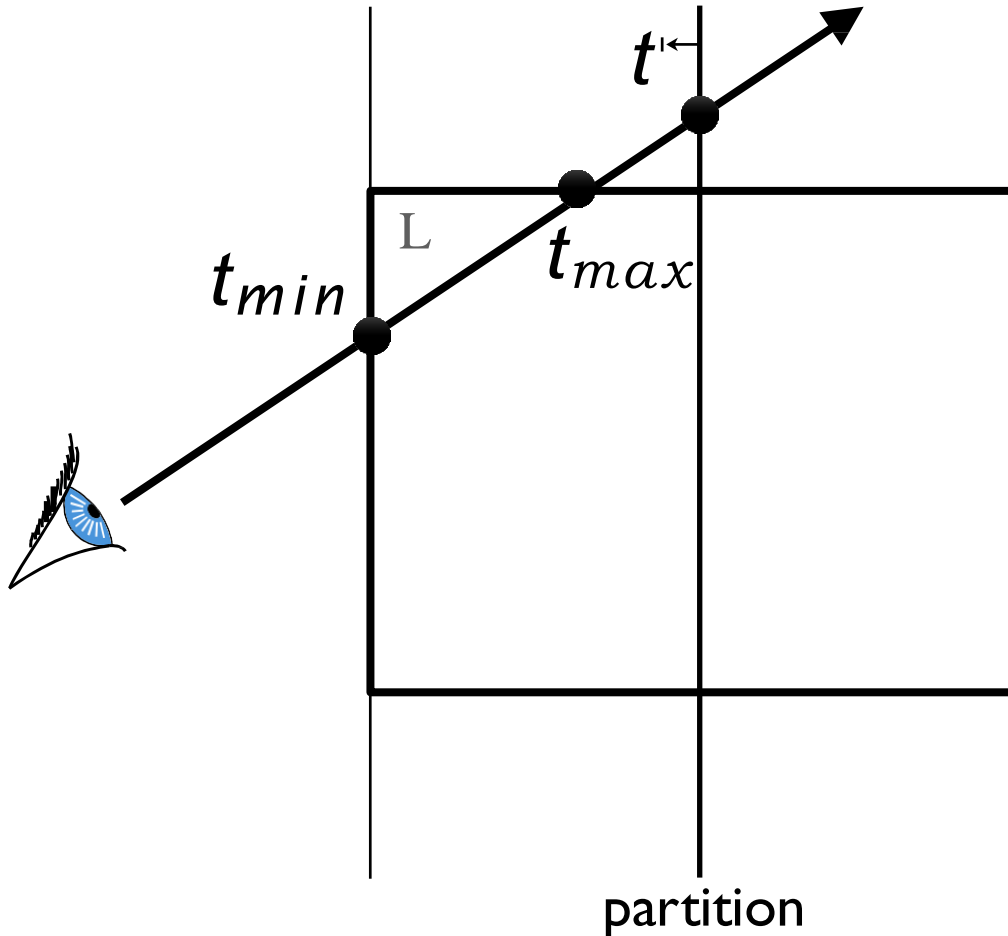
# KD-tree : parcours récursif

$t_{min} < t_{\leftarrow} < t_{max}$ ) Intersect(L,  $t_{min}, t^{\leftarrow}$ ) et Intersect(R,  $t^{\leftarrow}, t_{max}$ )



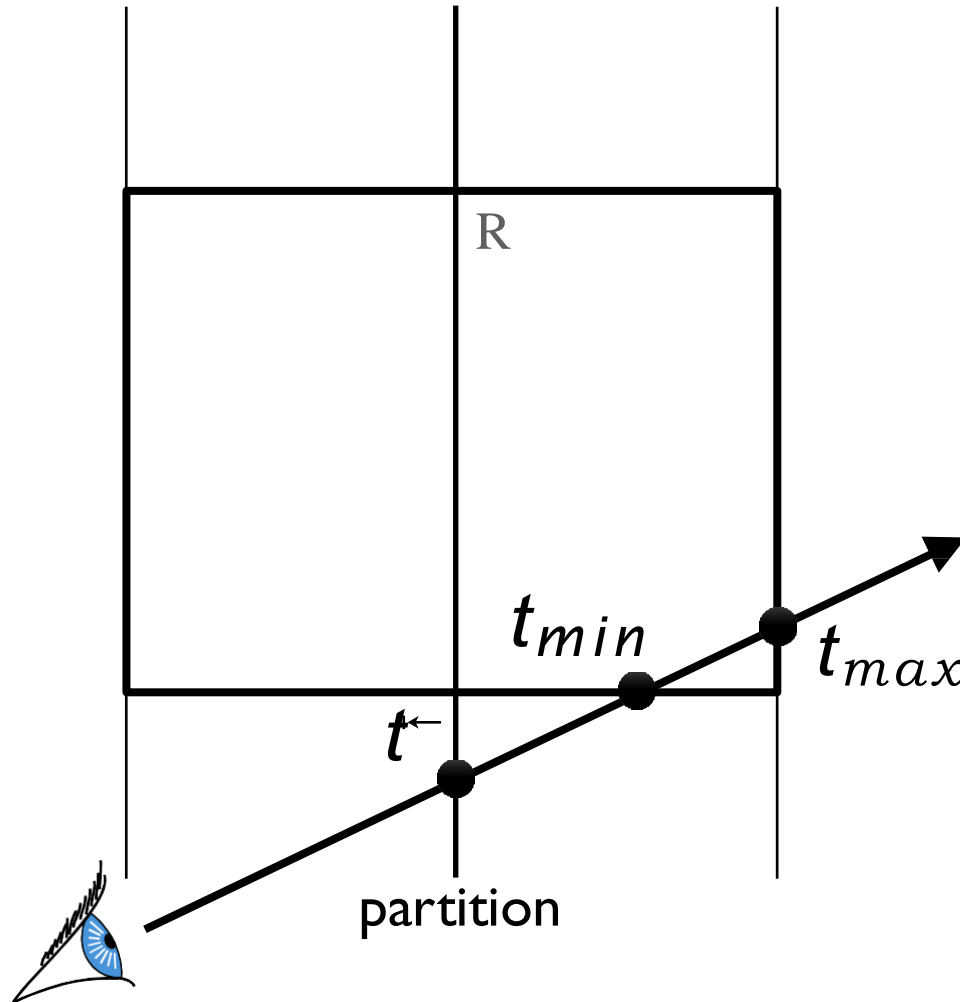
# KD-tree : parcours récursif

$t_{max} < t^{\leftarrow}) \text{ Intersect}(L, t_{min}, t_{max})$



# KD-tree : parcours récursif

$t_{\leftarrow} < t^{min}$  )   Intersect(R,  $t_{min}, t_{max}$ )



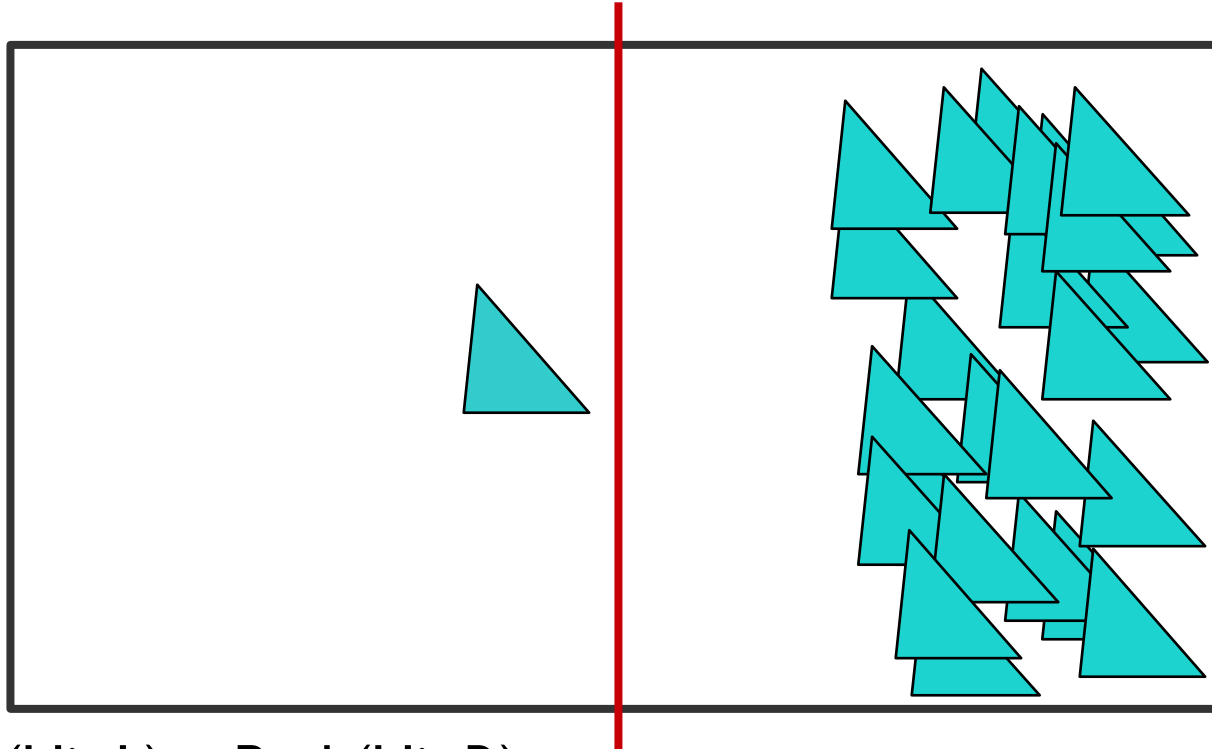
# KD-tree : construction

## Algo « naïf »

- Axe de coupe : le long de la plus grande dimension
- Position de coupe : au centre ou médian de la géométries (arbre équilibré)
- Critère d'arrêt : nombre de primitives, profondeur max.

# KD-tree : construction

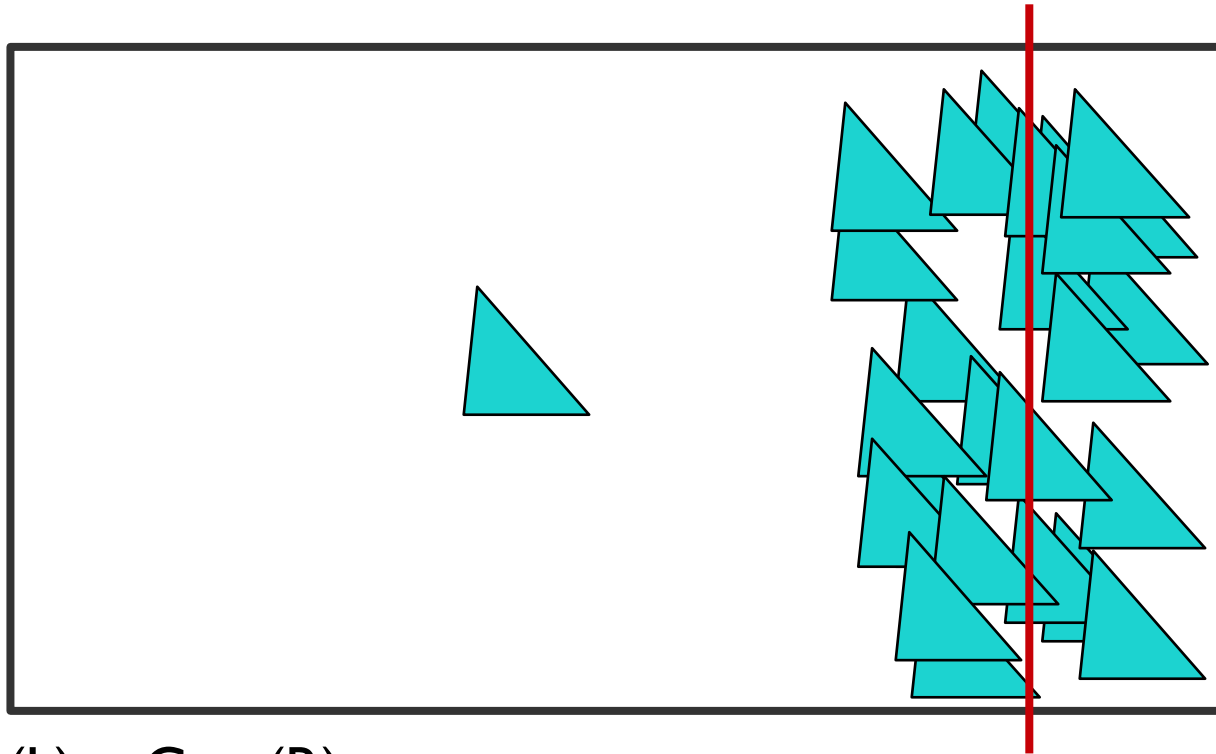
## Couper au milieu



- $\text{Prob}(\text{Hit L}) = \text{Prob}(\text{Hit R})$
- Ne prend pas en compte le coût de L & R

# KD-tree : construction

## Couper à la médiane



- $\text{Cost}(L) = \text{Cost}(R)$
- Ne prend pas en compte les probabilités d'entrer dans L et R

# KD-tree : construction

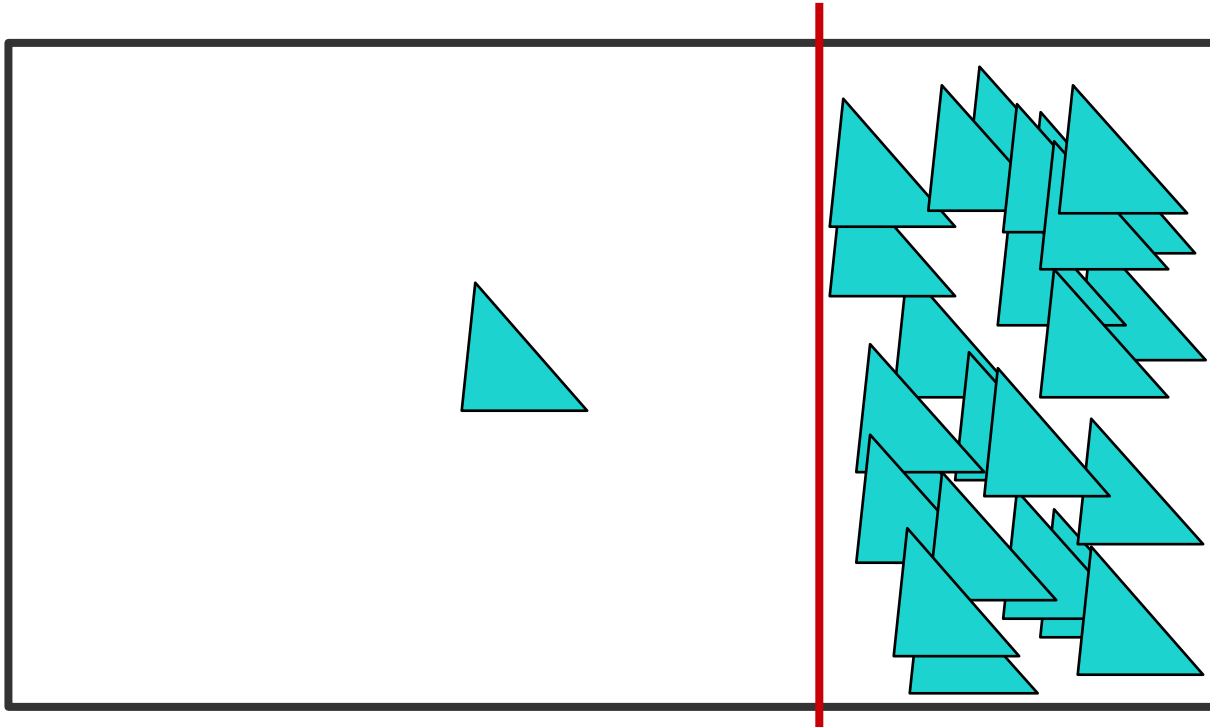
## Algo « intelligent »

- Objectif : choisir le plan de coupe qui rend le tracé de rayon le moins couteux possible
- Définir un modèle de coût et le minimiser
- Quel est le coût de tracer un rayon au travers d'une cellule ?

$$\text{Cost(cell)} = C_{\text{trav}} + \text{Prob(hit L)} \times \text{Cost}(L) + \text{Prob(hit R)} \times \text{Cost}(R)$$

# KD-tree : construction

## Optimisation de la fonction de coût



- Isole automatiquement et rapidement les zones complexes
- Génère de grands espaces vides / concentre les primitives dans de petits nœuds

# KD-tree : construction

[MacDonald and Booth 1990]

## Probabilité de rentrer dans une cellule

⇒ proportionnel à l'aire de la surface de la cellule (SA)

## Coût de parcours d'une cellule

⇒ nombre de triangles (TriCount)

$$\begin{aligned}\text{Cost(cell)} &= C_{\text{trav}} + \text{Prob(hit L)} \times \text{Cost}(L) + \text{Prob(hit R)} \times \text{Cost}(R) \\ &= \text{C\_trav} + \text{SA}(L) \times \text{TriCount}(L) + \text{SA}(R) \times \text{TriCount}(R)\end{aligned}$$

## Critère d'arrêt

⇒ quand subdiviser ne réduit plus le modèle de coût (seuillage)

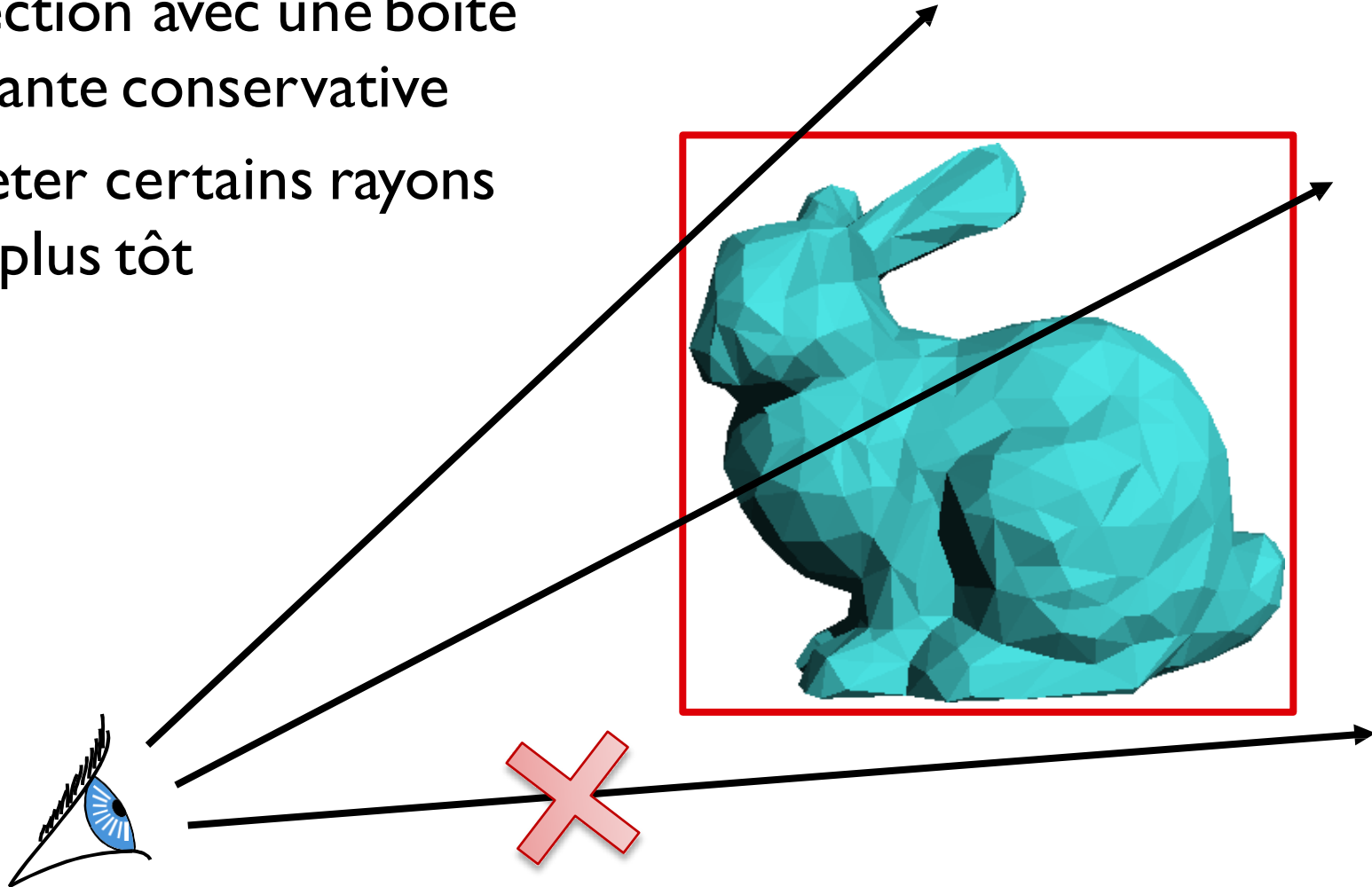
## Résultats

⇒ un « bon » KD-tree est de 2 à 5 fois plus rapide

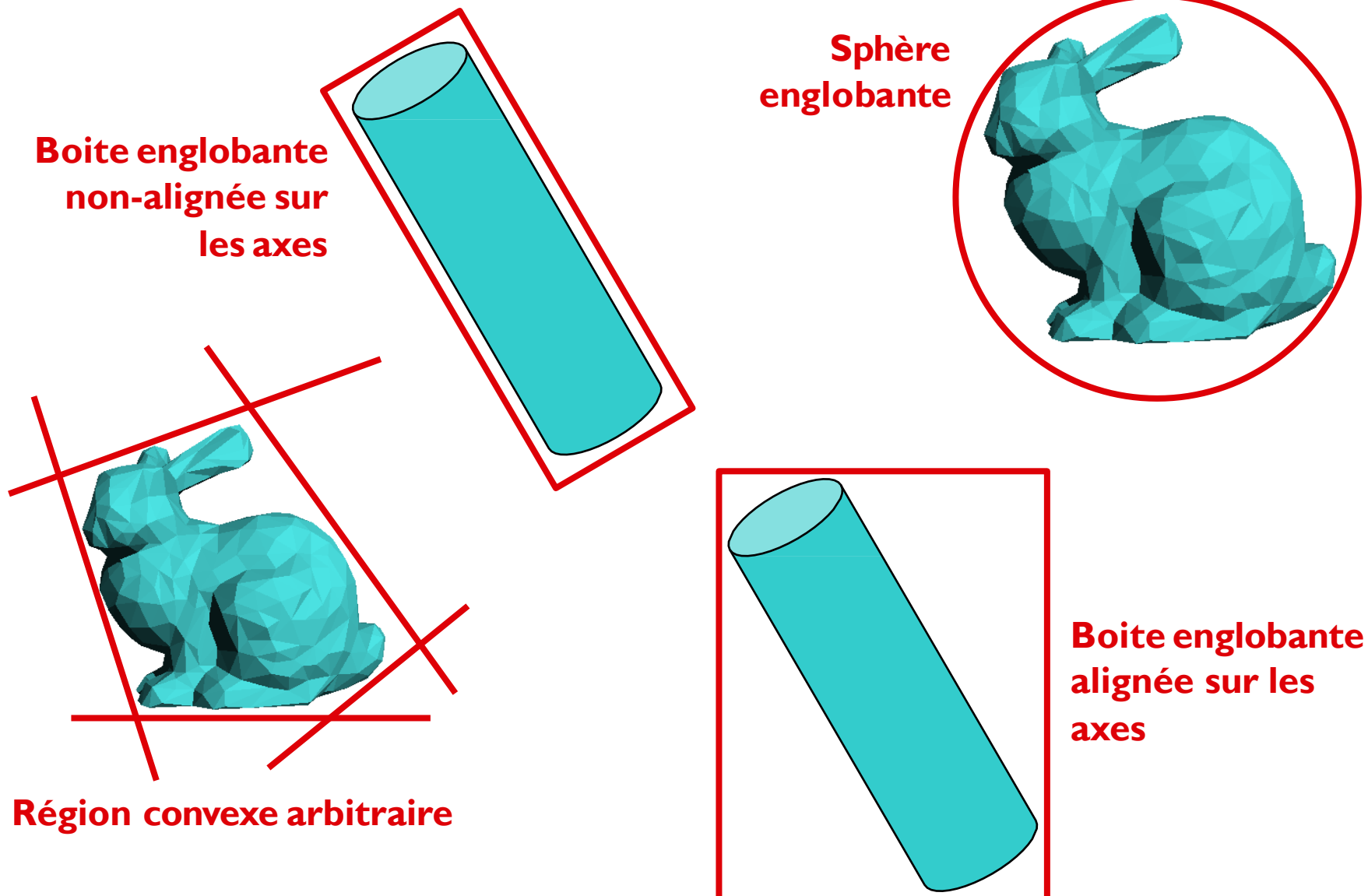
# Boites englobantes

Intersection avec une boite englobante conservative

⇒ rejeter certains rayons au plus tôt

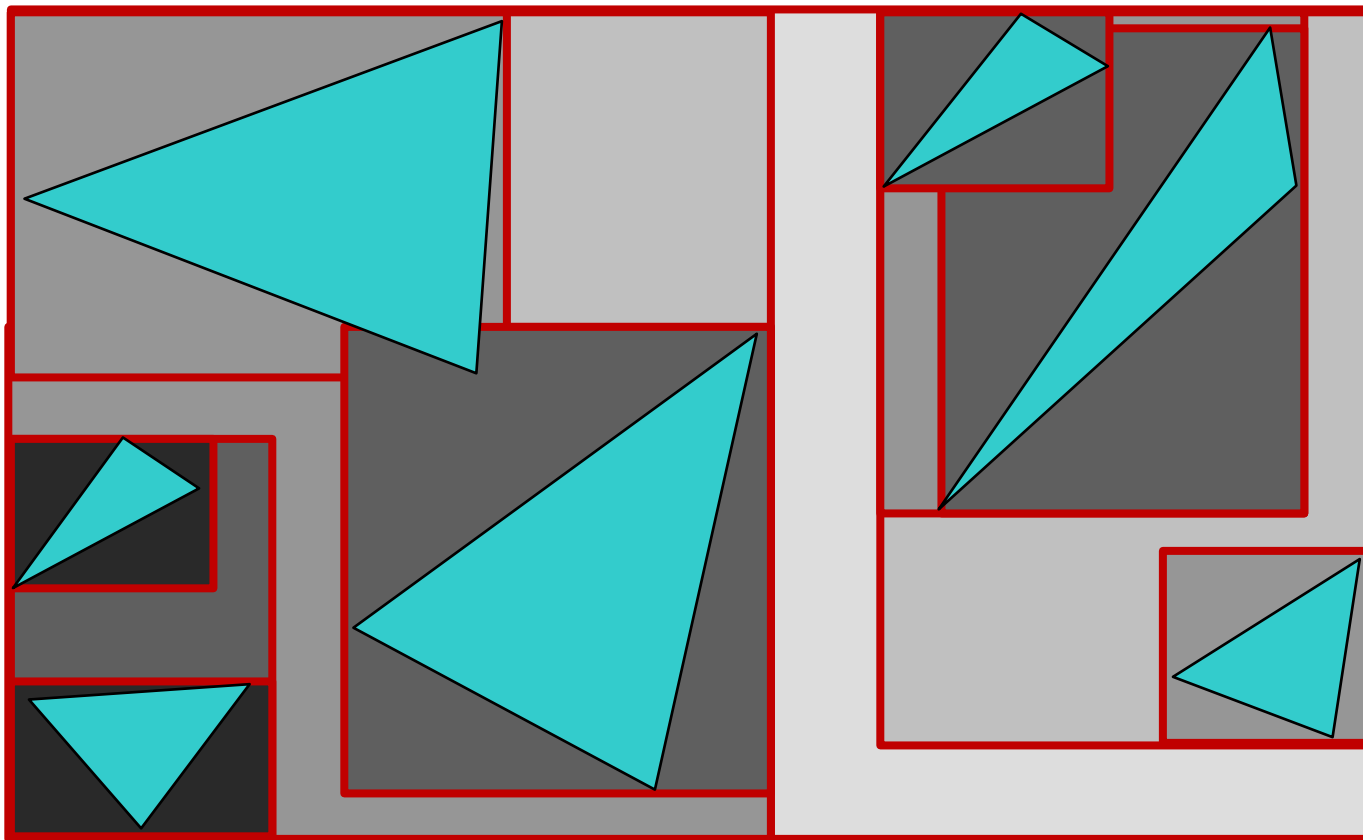


# Boites englobantes



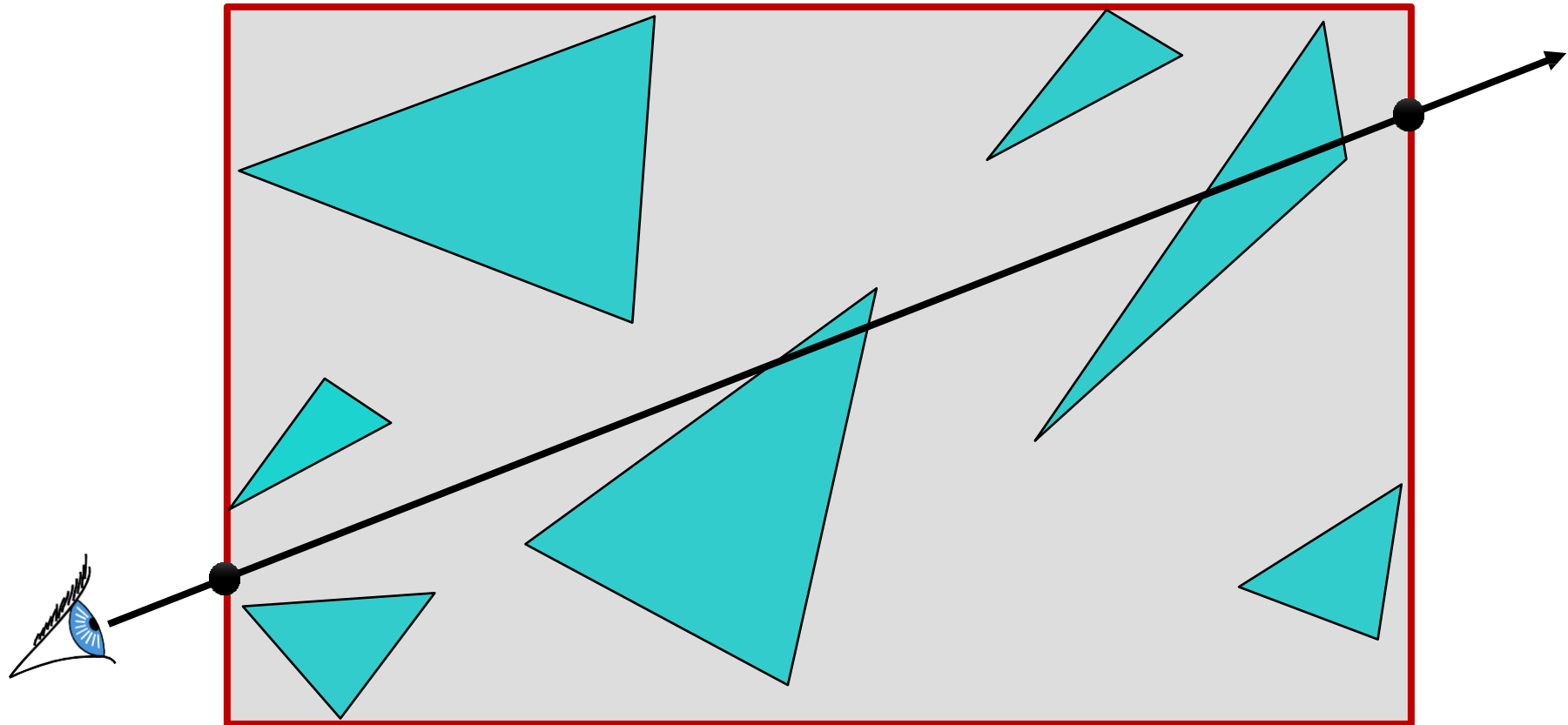
# Hiérarchie de boites englobantes

**BVH = KD-tree avec 1 boîte par nœud**



# BVH :intersection

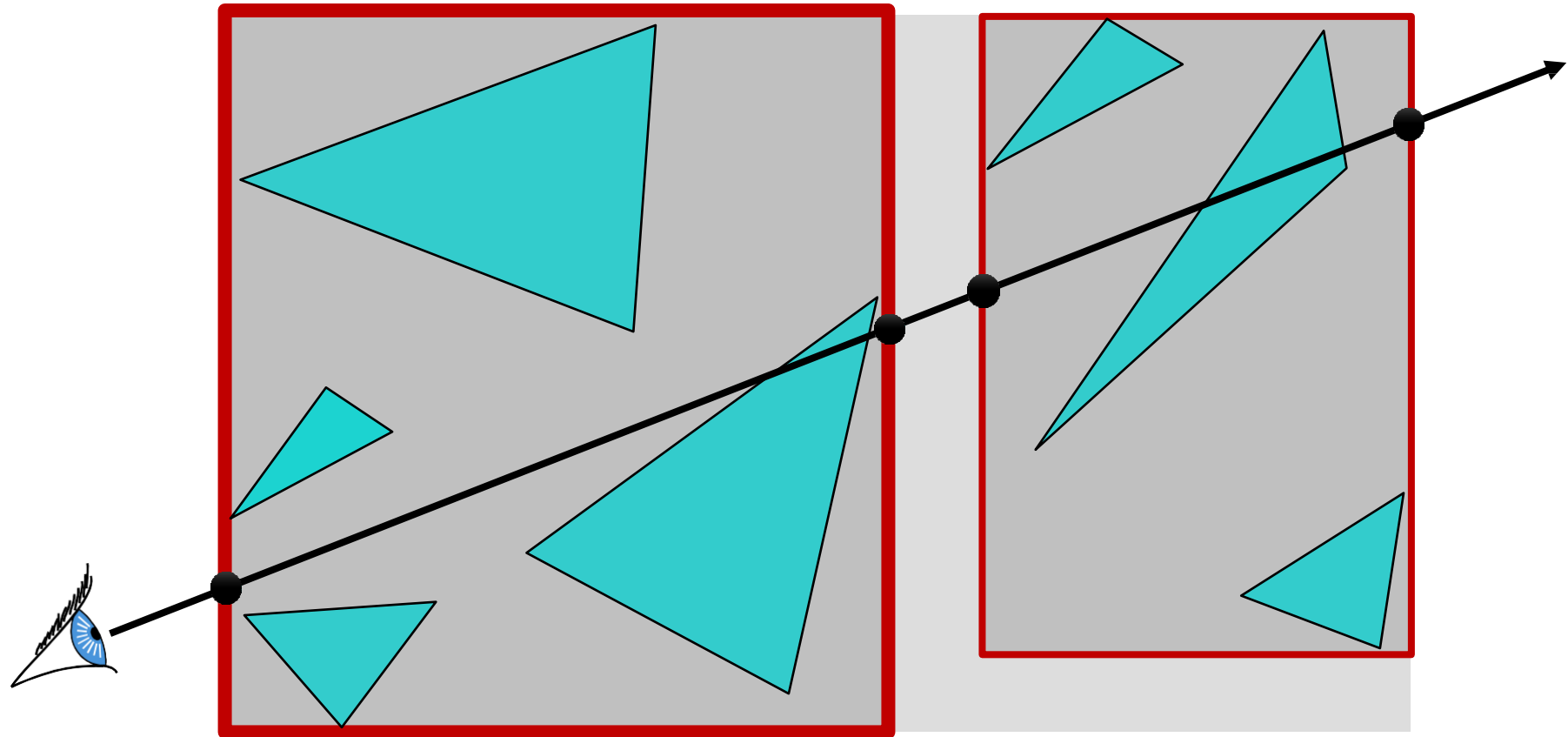
**Tester la boîte parente**



# Hiérarchie de boîtes englobantes

**Si Intersection, descendre sur les fils**

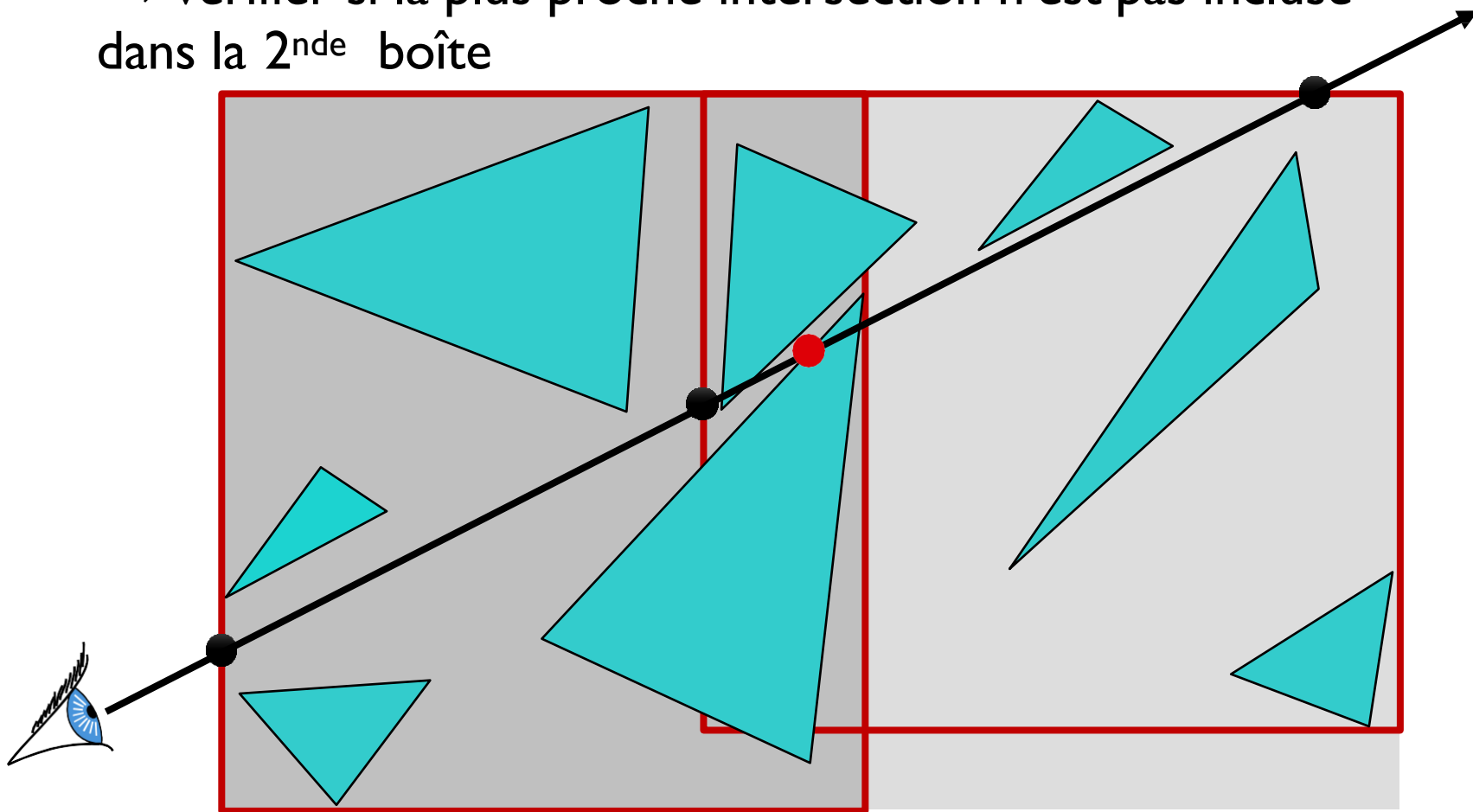
**Tester la boîte avec l'intersection la plus proche**



# Hiérarchie de boites englobantes

**Attention, les boîtes peuvent se *superposer* !**

⇒ vérifier si la plus proche intersection n'est pas incluse dans la 2<sup>nde</sup> boîte



# Comparaison

## KD-tree

- léger en mémoire (si bien codé)
- parcours simple et rapide
- construction optimale plus facile

## BVH

- arbre moins profond
- permet de décaler légèrement un objet sans avoir à reconstruire entièrement l'arbre

## Conclusion

- Scènes statiques  $\Rightarrow$  KD-tree
- Scènes dynamiques  $\Rightarrow$  BVH  
(les préférences semblent converger vers le tout BVH)

# Lancer de rayon cohérent

**Idée : 2 rayons proches ont de fortes chances d'intersecter la même primitive**

- Tracer des paquets de  $K \times K$  rayons en même temps (e.g.,  $8 \times 8$ )
- Amortissement du coût de traversée de l'arbre
- Permet d'exploiter au mieux les instructions SIMD (e.g., SSE)
- Réduit les défauts de cache

**Gros facteur d'accélération ( $\sim \times 10$ )**

**Attention aux rayons secondaires !**

(vectorisation par rayon préférable)



[Wald et al. EG 2001]

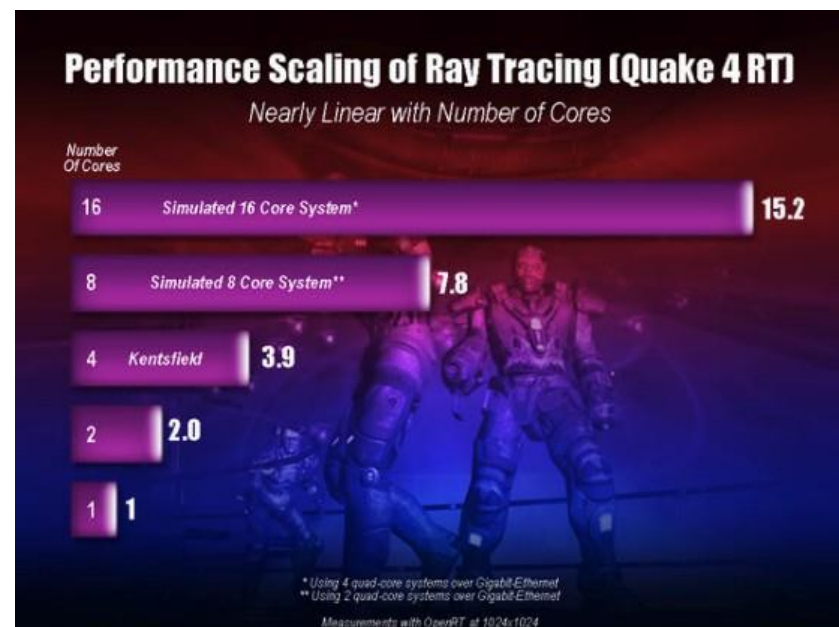
# Parallélisation

Plusieurs possibilités :

- distribution image
- distribution scène
- distribution rayon / fonctionnelle

Dépend de l'architecture de la machine,  
souvent combinaison des 3 !

Exemple  
(quake4 RT,distribution image)



# Cohérence + Parallélisation

Exemple :

**Intel Embree [Wald et al. Siggraph 2014]**

Kernels bas-niveau optimisés + API



# Lancer de rayon temps réel

## Exploitation des GPU

Structures de données sophistiquées

- Peu adaptées aux GPU des générations précédentes
- OK pour les GPU les plus récents, et futures

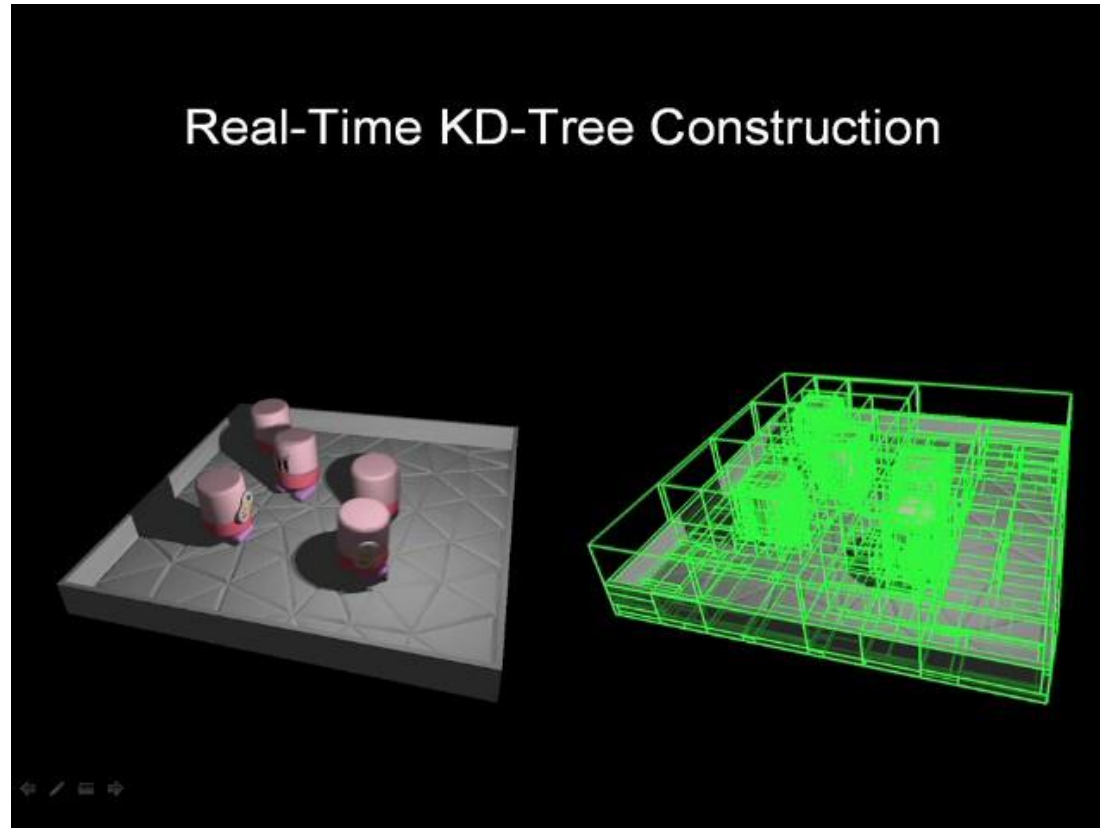


# KD-tree GPU

**Scènes animées :**

*Real-Time KD-Tree Construction on Graphics Hardware*

Zhou et al. SIGGRAPH 2008



# BVH GPU

*Fast BVH Construction on GPUs, Lauterbach et al., Eurographics 2009*



# Lancer de rayon sur GPU

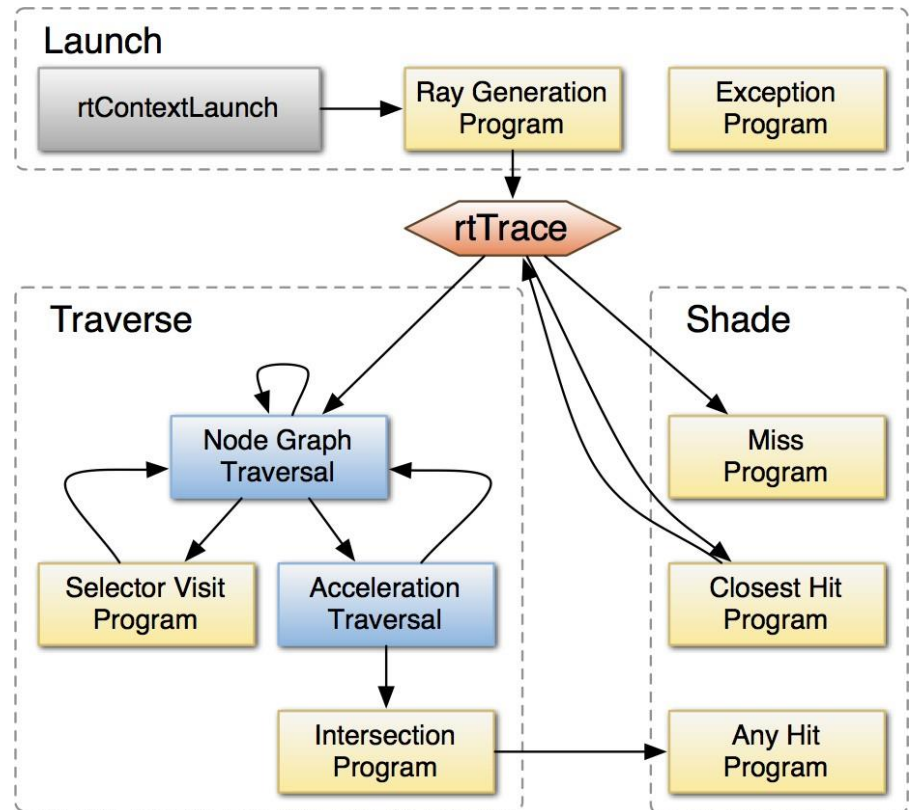
## Nvidia OptiX [Parker et al. Siggraph 2010]

bibliothèque bas-niveau destinée aux développeurs

- structure de données : \*BVH
- génération des rayons
- entièrement configurable

## Autres

- Lightworks : basé sur OptiX
- Arion : GPU(CUDA)/CPU
- OctaneRender (CUDA)
- V-Ray RT (OpenCL)
- ...



# **Source**

**Cours**

**Pierre Benard**

**Jean-Marc Thiery**